

المسارات الحركية للإرسال بالوثب في ضوء المنحني النظري البيوميكانيكي لدى لاعبي الكرة الطائرة

أ.م.د. محمد محمد عبد الهادي دومة

أستاذ مساعد
قسم أصول التربية الرياضية
كلية التربية الرياضية للبنين
جامعة الإسكندرية

أ.م.د. إيمان مصطفى محمد أبوالعلا

أستاذ مساعد
قسم التدريب الرياضي وعلوم الحركة
كلية التربية الرياضية للبنات
جامعة الإسكندرية

المقدمة ومشكلة البحث

تُعد دراسة المسارات الحركية وإستنتاج المنحنيات النظرية للخصائص المراد مقارنة أداء اللاعبين بها وتحديد نواحي القصور ثم من بعدها اقتراح ما يمكن لتطوير أسلوب الأداء بهدف الوصول بقيم المتغيرات المدروسة للحدود القصوى التي تشير إليها المنحنيات النظرية الناتجة من المعالجات الحسابية . (١ : ٣٢٥)

ومما لا شك فيه أن هناك فرق بين الأداء (التكنيك) المثالي والنموذجي ، فالاداء المثالي هو الاداء المهاري الذي يصعب الوصول اليه ولكننا نأمل ونسعي لتحقيقه ، أما الاداء النموذجي فهو تحليل الاداء المهاري للاعب معين وخاصة به نعمل على تحسينه وتطويره ، وهذا يعني أنه لابد من تحقيق خصائص التكنيك النموذجي لأي مهارة رياضية .

و يرى الباحثان أن معظم مدربين الكرة الطائرة يعتمدو على البرامج التدريبية المبنية على مسارات متغيرات الأداء المهاري الفعلي لللاعبين بالإرسال بالوثب والتي تحاكي الواقع الفعلى لإدائهم ولا تمثل الأداء النموذجي الذي نسعى للوصول إليه وتحقيقه والذي يعتبر ذات أهمية كبيرة في تقييم أداء الإرسال بالإرسال بالوثب والوصول لأفضل إنجاز ممكن تحقيقه وذلك من خلال وصف المسارات الحركية المرتبطة بنتائج التحليل الحركي ومن خلال مقارنتها بمعايير المسار الحركي النموذجي للأداء المهاري حتى تساعد المدربين على وضع برامج تدريبية في ضوء النموذج لتطوير مستوى الاتساع وليس الفعلى فقط .

حيث يشير كلا من زكي محمد (٢٠١٣) ووديع محمد (٢٠١٧) لمعرفة المسار المهاري للاعب أثناء الأداء فيما ينتمي تقسيم مهاره بالإرسال بالوثب الى المراحل التالية (مرحلة الاقتراب – مرحلة الطيران والضرب – مرحلة المتابعة) وهذه المراحل تتضمنه عده لحظات وهي (لحظه نهاية الاقتراب – لحظه التخميد بداية الارتفاع – أقصى ارتفاع لمركز الثقل خلال الطيران – لحظه الضرب) فكل منهم سمات خاصة تميزها وفق الاسس والمبادئ الميكانيكية . (٤ : ٣٦) (٨٢ : ٨)

ذلك يعتبر التحليل بغرض مقارنة المسارات الحركية بالمنحنيات النظرية من أصعب مستويات التحليل ، وأكثرها تقدما حيث أشار محمد ابراهيم (٢٠١١) ووديع محمد (٢٠١٧) بأن هناك أربع مستويات للتحليل الحركي وتختلف كلا منهم حسب الصعوبة وهم (التعرف على الخصائص التكنيكية للمهارة وهذا المستوى يُعد من أسهل أنواع التحليل حيث يتم فيه دراسة الخصائص الميكانيكية المميزة للمهارة، أما الكشف عن عيوب الأداء فيعتمد هذا المستوى على المعرفة المسبقة للخصائص التكنيكية للمهارة ويتم مقارنة هذه الخصائص للتعرف على أوجه القصور في الأداء ، وبالنسبة للتحليل بغرض الدراسة النظرية لحركات النماذج وفيه يتم دراسة مسارات الأداء المهاري على النماذج المصنعة بهدف إمكانية حدوث إحتمالات حركية جديدة ومدى إمكانية تطبيقها على الجسم البشري ، واخيرا المسارات الحركية للأداء بالمنحنيات النظرية وتمثل صعوبة تحليل المسارات الحركية للأداء بالمنحنيات النظرية في استنتاج المنحنيات النظرية للخصائص المراد مقارنه أداء اللاعبين بها و مدى ما يمكن اقتراحه من تطوير في أسلوب الأداء بهدف محاولة الوصول بقيم المتغيرات إلى الحدود القصوى التي تشير إليها المنحنيات النظرية . (٧ : ٣٣٥)

وانطلاقا من ذلك واستنادا للإتجاه الحديث في مجال علوم الحركة والتحليل الحركي وجد الباحثان أهمية دراسة المسار الحركي للأداء المهاري بالمنحنيات النظرية والتي تُعد من المناهج المستحدثة والتي من خلالها نستطيع التعامل مع المتغيرات الفعلية أو الحقيقة للمهارة المراد تطويرها إلى الوضع المستقبلي المراد الوصول اليه وذلك من خلال المعلومات

التحليلية الأكثر موضوعية في معالجة المشكلات من حيث وصف العلاقة بين هذه المتغيرات بصورة أكثر شمولية و موضوعية.

ومن هنا تتضح المشكلة وتتمثل أهمية هذه الدراسة في محاولة تحديد المسارات الحركية النموذجية للإرسال بالوثب من خلال تحديد المتغيرات البيوميكانيكية للإداء المهاري الفعلى واقتراح نسبة المعالجة النظرية التي يمكن أن تكون فيما بعد معيار نموذجي للإداء المهاري وذلك بتعيين درجه قرب هذا الإداء الفعلى من النموذج الامثل في طريقة ادائه والتي يجب على المدرب الاستعانة بها واستخدامها في البرامج التدريبية .

أهداف البحث :

يهدف البحث الى دراسة المسارات الحركية للإرسال بالوثب في ضوء المنحني النظري البيوميكانيكي لدى لاعبي الكرة الطائرة وذلك من خلال التعرف على :-

- ١- المسارات الحركية الفعلية والنظرية للإرسال بالوثب لدى لاعبي الكرة الطائرة .
- ٢- دراسة متغيرات المنحنيات الفعلية والنظرية للإرسال بالوثب لدى لاعبي الكرة الطائرة .

تساؤلات البحث

- ١- ما المسارات الحركية الفعلية والنظرية للإرسال بالوثب لدى لاعبي الكرة الطائرة؟
- ٢- ما متغيرات المنحنيات الفعلية والنظرية للإرسال بالوثب لدى لاعبي الكرة الطائرة؟

إجراءات البحث:

منهج البحث:

استخدام الباحثان المنهج الوصفي بإستخدام التحليل البيوميكانيكي للأداء الحركى لملائمة لطبيعة البحث.

عينة البحث

تم اختيار العينة بالطريقة العمدية متمثلة في عدد (١) لاعب من لاعبي المنتخب المصري لكرة الطائرة للاسترشاد بنتائج التحليل الحركي الخاصة به كدليل للمنحني النظري البيوميكانيكي للمهارة قيد البحث ، (١٢) لاعب من لاعبي الفريق الأول رجال للكرة الطائرة بنادى دلفى ومسجلين بالإتحاد المصرى لكرة الطائرة حيث أدى كل لاعب (٥) محاولات وتم اختيار أفضل محاولة لكل لاعب من حيث قانونيه وفعالية الأداء وجودة التصوير للتحليل، للدراسة الاستطلاعية تم اختيار عدد (١) لاعب من خارج العينة الأساسية .

أولاً: الأجهزة والأدوات المستخدمة لجمع البيانات

- ميزان طبى معاير لقياس الوزن لأقرب كجم .
- رستاميتر لقياس الطول الكلى للجسم لأقرب سـم .
- عدد ٨ كرات طائرة.
- أشرطه لاصقة لتحديد أماكن سقوط الكرة

ثانياً: أدوات التصوير والتحليل الحركى:

- كاميرا تصوير من نوع (Sony action cam as-100) ذات تردد ٢٤٠ كادر/ ثانية.
- حامل ثلاثي للكاميرا.
- مقياس الرسم $65=X, Y=75, Z=65$
- جهاز الحاسب آلى (pavilion dv6) من نوع (hp)
- علامات فسفورية لاصقة لتحديد مفاصل الجسم.

الدراسة الاستطلاعية :

قام الباحثان بإجراء الدراسة الاستطلاعية على لاعب واحد ضمن للاعبين المستوى العالمي ومن فريق المنتخب المصري لكرة الطائرة ومن خارج عينة البحث الأساسية يوم الأربعاء الموافق ٢٠٢٤/٩/٤ حيث تم تصوير التجربة الاستطلاعية بملعب نادي دلفي في نفس مكان الذي سيجري فيه التصوير الأساسي في تمام الساعة ٨ مساءً.

وكان هدف الدراسة تحديد أهم لحظات مراحل الأداء المهاري للإرسال بالوثب فيكرة الطائرة المؤثرة طبقاً لهدف البحث ، تحديد أهم المتغيرات البيوميكانيكية لكل مرحلة طبقاً لهدفها الفني للمهاره قيد البحث ، تحديد أماكن وضع الكاميرا طبقاً لمجال الحركة و التأكد من عوامل أمن وسلامة اللاعبين أثناء التصوير .

اسفرت نتائج هذه الدراسة وتوصل الباحثان الى

- التأكد من عوامل الأمن والسلامة للاعبين وصلاحية الصالة للتصوير وتحديد أماكن وضع الكاميرا طبقاً لمجال الحركة.
- تحديد أهم المتغيرات البيوميكانيكية المؤثرة طبقاً للهدف من المرحلة بما يخدم الأداء المهاري وهي :-
 - مرحلة الإقتراب :-

الخطوة الأخيرة :- السرعة الأفقية - السرعة الرأسية - محصلة السرعة - كمية الحركة

- مرحلة الإرقاء :-

أ- التخميد :- السرعة الأفقية - السرعة الرأسية - محصلة السرعة - مسافة الفرملة - التصادم Impact - كمية الحركة - زوايا الطرف السفلي .

ب- الدفع :- السرعة الأفقية - السرعة الرأسية - محصلة السرعة - زوايا الطرف السفلي - مسافة الدفع - كمية الحركة - مسافة الدفع الرأسية - إرتفاع مركز الثقل - زاوية الطيران لمركز الثقل .

- مرحلتي الطيران والضرب :-

أقصى إرتفاع لمركز الثقل - سرعة الذراع لحظة أقصى مرجحة خلفية - كمية الحركة - زاوية الجذع لحظة أقصى مرجحة خلفية - زاوية الجذع لحظة الضرب - زوايا الذراع الضاربة لحظة الضرب - سرعة الذراع لحظة الضرب - سرعة إنطلاق الكرة - زاوية إنطلاق الكرة - إرتفاع الكرة لحظة الضرب

الدراسة الأساسية

قام الباحثان بإجراء الدراسة الأساسية على عينة البحث المتمثله من عدد ١٢ لاعب وعدد لاعب واحد النموذج وذلك يوم الأربعاء الموافق ٢٠٢٤/٩/١٨ في تمام الساعة الثانية ظهراً بصاله الكرة الطائرة بنادي دلفي - الإسكندرية وفق التسلسل الآتي:-

١. تجهيز اللاعبين للتصوير من حيث وضع العلامات الارشادية على مفاصل الجسم
٢. إجراء بعض القياسات الانثروبومترية لعينه الدراسة الأساسية ، وشرح الاداء المطلوب ثم اداء الاحماء اللازم للاعب قبل بدء التصوير .

٣. تم وضع الكاميرا وتثبيتها وفق الدراسه الاستطلاعيه الثانية ، حيث تم تثبيت الكاميرا على المستوى الجانبي بحيث كان بُعدها عن مجال التصوير ٧ متر وارتفاعها ١.٤٧ متر، حيث تمت المعايرة (Calibration) من خلال وضع مقياس الرسم في مكان وقوف اللاعب عينه البحث ، وتم تصويرها بكاميرا الفيديو قبل بدء التجربة بحيث يكون مقياس الرسم عمودي على الأرض وكانت ابعاده X=65,Y=75,Z=65 القبابات بالستنتيمتر ، وتم تحديد المجال الذي يتم فيه الحركة، وبعد ذلك تم بإعاده مقياس الرسم من مجال التصوير ، ووقف اللاعب مكانه بحيث يواجه جانبه الايمن للكاميرا ، وتم التأكد من خالل عدسه الكاميرا أن جميع العلامات المثبتة على اللاعب واضحة تماماً وبذلك تصبح الكاميرا واللاعب جاهزين للتصوير وتسجيل المحاولات .

٤. ولقد راعي الباحثان أثناء تنفيذ تصوير المحاولات أن يؤدي اللاعب المحاولات في نفس ظروف المباراه من حيث قانونية الملعب والاداء المهاري ، وقد تم تصوير عدد (٥) من المحاولات الصحيحه من الجانب المهاري والقانوني .

وتم إجراء التحليل الحركي بواسطة استخدام الحاسوب الآلي في الفترة ٢٠٢٤/٩/٢٠ إلى ٢٠٢٤/١٠/٢٠ طبقاً للخطوات التالية:-

- ١- تم نقل البيانات المخزنة على الكاميرا الى "اللاب توب" ماركت "hp" نوعه "dv6".
- ٢- ثم تجزئة الفيديوهات الى اللحظات الزمنية المحددة "المحاولات المطلوبة".
- ٣- استخدام الباحثان برنامج التحليل الحركي SKILLSPECTOR للتحليل البيوميكانيكي لاستخراج المتغيرات البيوميكانيكية المطلوبة .
- ٤- استخراج المتغيرات البيوميكانيكية من برامج التحليل الحركي على برنامج "Excel".
- ٥- إرسال النتائج المستخلصة لإجراء المعاملات الإحصائية طبقاً لهدف البحث.

تم التعامل مع المحاوالت بعد التصوير من خلال الخطوات التالية :

- تحويل التصوير بواسطة الكاميرا الى الحاسوب الآلي وتسجيلها في ملف .
 - استدعاء اللقطة الخاصة بمقاييس الرسم وتحديد حدود مقاييس الرسم .
 - تحديد عدد العلامات المثبتة على عضلات جسم اللاعب .
 - اختيار المتغيرات البيوميكانيكية الخاضعة للدراسة .
- وهذه المرحلة تمت من خلال اعاده مشاهده التصوير المسجل والتأكد من من وضوح الرؤيا جميع المحاوالت داخل مجال التصوير المحدد وتم تحديد افضل محاولة لكل لاعب من حيث صلاحيتها للتحليل وادائها المهاري وللجانب القانوني للمهاره قيد البحث .

* المعالجات الاحصائية:

تم اجراء المعالجات الاحصائية باستخدام برنامج SPSS Version 25 وذلك عند مستوى ثقة (٠.٩٥) يقابلها مستوى دلالة (احتمالية خطأ) ٠٠٥ وهي كالتالي :

- أقل قيمة.
- أكبر قيمة.
- المتوسط الحسابي .
- الانحراف المعياري .
- معامل الإنتواء.
- معامل التفاطح.
- نسبة الفروق %
- اختبار (ت) لمجموعة واحدة.
- نسبة التغير %

عرض ومناقشة النتائج

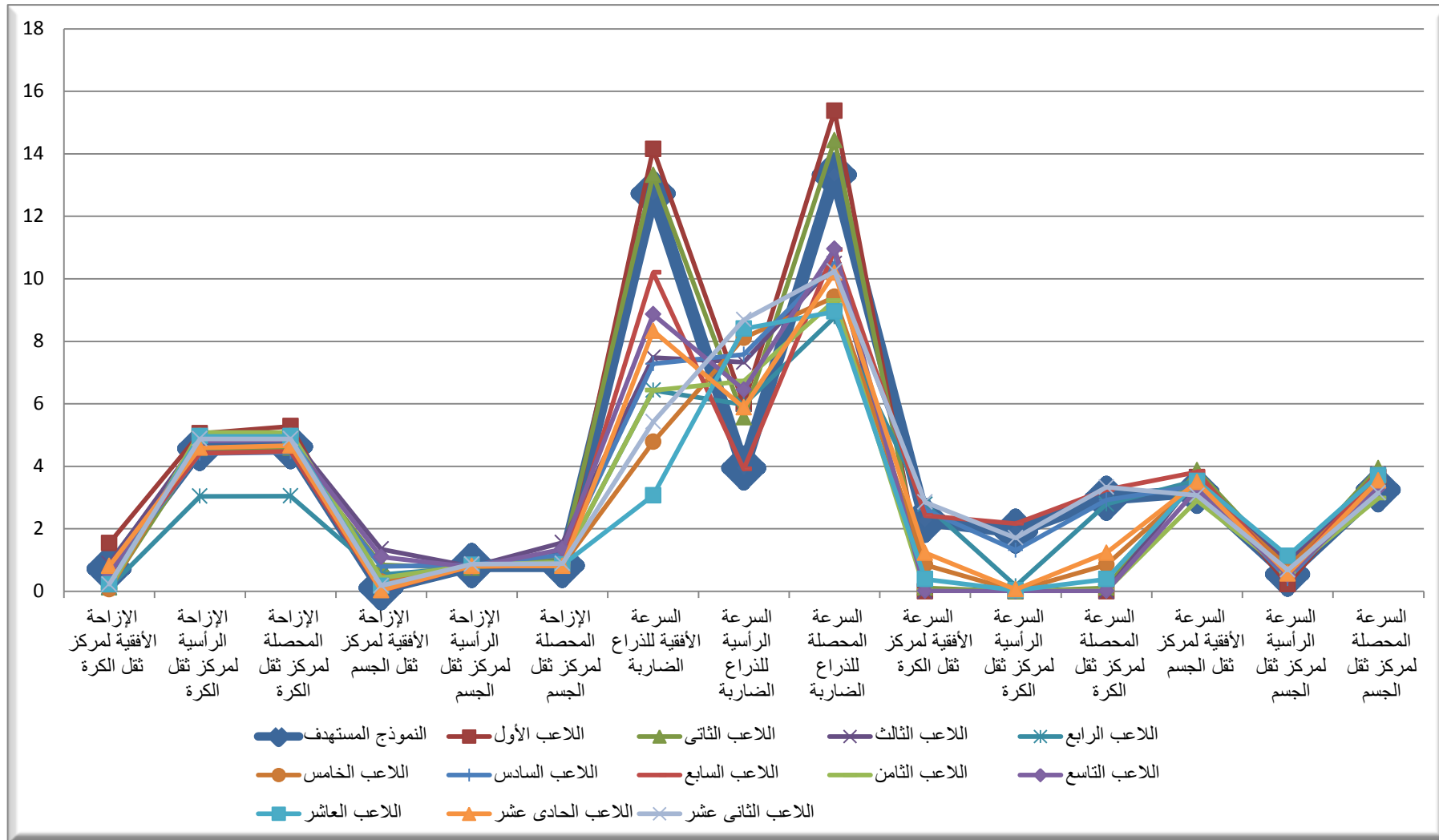
من خلال عرض أهداف وتساؤلات البحث ومن واقع النتائج التي تم التوصل اليها وفقاً لخطوات التحليل الحركي ، سوف يقوم الباحثان بعرض ومناقشة النتائج التي تم التوصل اليها طبقاً للحظات الحاسمه في كل مرحلة من مراحل الاداء الفني للمهاره قيد البحث :

جدول رقم (١) المسارات الحركية لقيم الفعلية والنموذج المستهدف ونسبة الفروق للمتغيرات قيد البحث للخطوة الأخيرة في الاقتراب

اللاعبين / البيانات		الإزاحة الأفقية لمركز ثقل الكرة	الإزاحة الرأسية لمركز ثقل الكرة	الإزاحة المحصلة لمركز ثقل الكرة	الإزاحة الأفقية لمركز ثقل الجسم	الإزاحة الرأسية لمركز ثقل الجسم	الإزاحة المحصلة لمركز ثقل الجسم	السرعة الأفقية للذراع الضاربة	السرعة الرأسية للذراع الضاربة	السرعة المحصلة للذراع الضاربة	السرعة الأفقية لمركز ثقل الكرة	السرعة الرأسية لمركز ثقل الكرة	السرعة المحصلة لمركز ثقل الكرة	السرعة الأفقية لمركز ثقل الجسم	السرعة الرأسية لمركز ثقل الجسم	السرعة المحصلة لمركز ثقل الجسم
النموذج المستهدف		0.71	4.56	4.62	0.10	0.82	0.82	12.72	3.94	13.32	2.26	1.92	2.97	3.19	0.54	3.24
اللاعب الأول	القيمة الفعلية	1.54	5.05	5.28	0.20	0.80	0.83	14.15	5.99	15.37	0.00	0.00	0.00	3.65	0.23	3.65
	نسبة الفروق %	116.8%	10.7%	14.3%	104.1%	-1.6%	0.7%	11.2%	52.2%	15.4%	-100.0%	-100.0%	-100.0%	14.2%	-57.9%	12.8%
اللاعب الثاني	القيمة الفعلية	0.12	4.58	4.59	0.85	0.75	1.13	13.32	5.56	14.43	0.11	0.00	0.11	3.87	0.76	3.94
	نسبة الفروق %	-83.3%	0.5%	-0.7%	766.3%	-7.9%	37.9%	4.6%	41.4%	8.4%	-95.1%	-99.8%	-96.3%	21.2%	41.2%	21.8%
اللاعب الثالث	القيمة الفعلية	0.88	4.89	4.97	1.35	0.79	1.56	7.48	7.33	10.48	0.00	0.00	0.00	3.63	0.95	3.75
	نسبة الفروق %	24.2%	7.2%	7.7%	1276.3%	-3.0%	90.2%	-41.2%	86.4%	-21.3%	-100.0%	-100.0%	-100.0%	13.6%	76.5%	15.8%
اللاعب الرابع	القيمة الفعلية	0.13	3.04	3.05	0.53	0.77	0.94	6.43	5.98	8.78	2.78	0.17	2.79	3.55	0.69	3.61
	نسبة الفروق %	-81.9%	-33.3%	-34.0%	442.0%	-5.4%	14.0%	-49.5%	52.0%	-34.0%	23.0%	-91.0%	-6.1%	11.0%	27.6%	11.5%
اللاعب الخامس	القيمة الفعلية	0.06	4.96	4.96	0.31	0.79	0.85	4.78	8.11	9.42	0.85	0.02	0.85	3.44	0.78	3.53
	نسبة الفروق %	-91.4%	8.7%	7.4%	212.1%	-2.9%	3.3%	-62.4%	106.1%	-29.3%	-62.4%	-99.2%	-71.4%	7.7%	45.2%	9.0%
اللاعب السادس	القيمة الفعلية	0.61	4.41	4.45	0.80	0.85	1.17	7.28	7.58	10.50	2.61	1.31	2.92	3.38	0.40	3.41
	نسبة الفروق %	-13.4%	-3.3%	-3.6%	722.9%	4.8%	43.0%	-42.8%	92.5%	-21.1%	15.4%	-31.9%	-1.6%	6.0%	-25.1%	5.2%
اللاعب السابع	القيمة الفعلية	0.72	4.42	4.48	0.02	0.81	0.81	10.20	3.91	10.93	2.42	2.17	3.25	3.82	0.46	3.85
	نسبة الفروق %	1.6%	-3.0%	-2.9%	-80.7%	-1.2%	-1.9%	-19.8%	-0.6%	-18.0%	6.8%	13.1%	9.5%	19.7%	-14.4%	18.9%

تابع جدول رقم (١) المسارات الحركية لقيم الفعلية والنماذج المستهدفة ونسبة الفروق للمتغيرات قيد البحث للخطوة الأخيرة في الاقتراب

اللاعبين / البيان		الإزاحة الأفقية لمركز ثقل الكرة	الإزاحة الرأسية لمركز ثقل الكرة	الإزاحة المحصلة لمركز ثقل الكرة	الإزاحة الأفقية لمركز ثقل الجسم	الإزاحة الرأسية لمركز ثقل الجسم	الإزاحة المحصلة لمركز ثقل الجسم	السرعة الأفقية للذراع الضاربة	السرعة الرأسية للذراع الضاربة	السرعة المحصلة للذراع الضاربة	السرعة الأفقية لمركز ثقل الكرة	السرعة الرأسية لمركز ثقل الكرة	السرعة المحصلة لمركز ثقل الكرة	السرعة الأفقية لمركز ثقل الجسم	السرعة الرأسية لمركز ثقل الجسم	السرعة المحصلة لمركز ثقل الجسم
اللاعب الثامن	القيمة الفعلية	0.11	5.08	5.08	0.43	0.84	0.94	6.43	6.72	9.30	0.01	0.02	0.03	2.91	0.62	2.98
	نسبة الفروق %	-84.7%	11.2%	10.0%	341.0%	3.0%	14.9%	-49.4%	70.7%	-30.2%	-99.3%	-98.9%	-99.1%	-8.8%	14.1%	-8.1%
اللاعب الحادي العاشر	القيمة الفعلية	0.57	4.81	4.84	1.10	0.77	1.35	8.86	6.45	10.96	0.01	0.00	0.01	3.26	0.51	3.30
	نسبة الفروق %	-19.3%	5.3%	4.8%	1027.9%	-5.3%	64.0%	-30.3%	63.8%	-17.7%	-99.6%	-100.0%	-99.7%	2.0%	-5.7%	1.8%
اللاعب الحادي عشرون	القيمة الفعلية	0.22	4.96	4.96	0.17	0.84	0.85	3.07	8.40	8.95	0.39	0.03	0.39	3.53	1.13	3.71
	نسبة الفروق %	-69.3%	8.6%	7.4%	73.3%	2.7%	4.1%	-75.9%	113.6%	-32.8%	-82.9%	-98.6%	-87.0%	10.6%	108.9%	14.5%
اللاعب الثاني عشرون	القيمة الفعلية	0.81	4.59	4.66	0.03	0.81	0.81	8.33	5.88	10.19	1.23	0.06	1.23	3.49	0.56	3.54
	نسبة الفروق %	14.5%	0.5%	0.9%	-72.6%	-0.2%	-0.9%	-34.6%	49.3%	-23.5%	-45.5%	-97.1%	-58.4%	9.4%	3.2%	9.2%
اللاعب الثالث	القيمة الفعلية	0.23	4.88	4.88	0.18	0.87	0.89	5.42	8.69	10.24	2.85	1.71	3.33	3.07	0.68	3.15
	نسبة الفروق %	-67.8%	6.9%	5.7%	86.4%	7.3%	8.8%	-57.4%	120.8%	-23.1%	26.2%	-10.9%	12.2%	-3.8%	25.7%	-2.9%



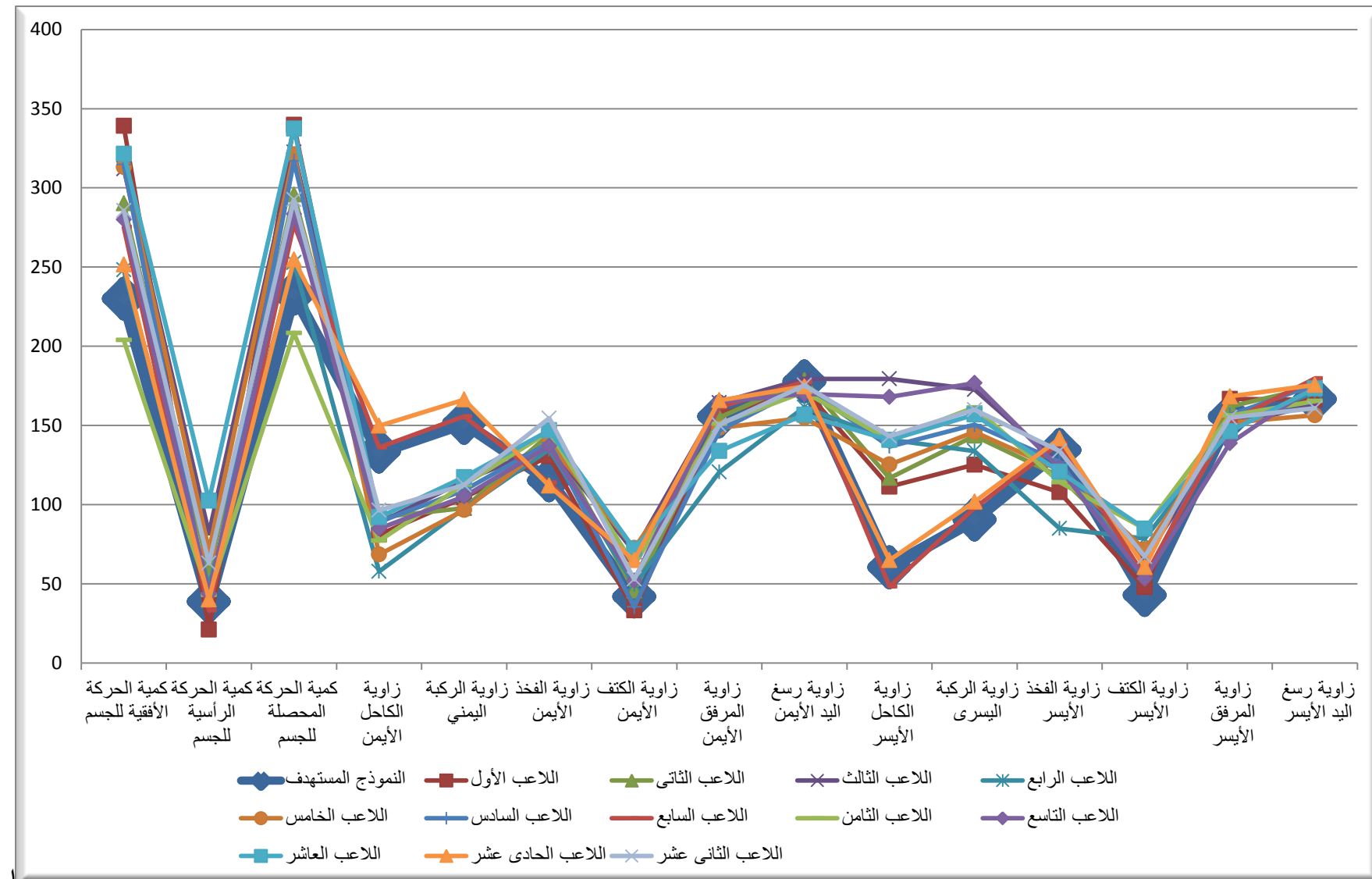
الشكل البيانى رقم (١) الخاص بالمقارنة بين النموذج المستهدف والقيم الفعلية للمسارات الحركية للمتغيرات قيد البحث للاعبين خلال لخطوة الاخيره في الاقتراب

تابع جدول رقم (١) المسارات الحركية لقيم الفعلية والنموذج المستهدف ونسبة الفروق للمتغيرات قيد البحث للخطوة الأخيرة في الاقتراب

اللاعبين / البيان		كمية الحركة الأفقية للجسم	كمية الحركة الرأسية للجسم	كمية الحركة المحصلة للجسم	زاوية الكاحل الأيمن	زاوية الركبة اليمني	زاوية الفخذ الأيمن	زاوية الكتف الأيمن	زاوية المرفق الأيمن	زاوية رسغ اليد الأيمن	زاوية الكاحل الأيسر	زاوية الركبة اليسرى	زاوية الفخذ الأيسر	زاوية الكتف الأيسر	زاوية المرفق الأيسر	زاوية رسغ اليد الأيسر
النموذج المستهدف		229.91	38.83	233.17	133.40	151.58	115.35	41.89	155.70	177.75	60.40	90.56	134.45	42.88	155.45	166.50
اللاعب الأول	القيمة الفعلية	339.11	21.11	339.76	81.11	104.51	130.63	33.25	157.03	172.74	111.41	125.25	107.85	47.88	166.78	166.36
	نسبة الفروق %	47.5%	-45.6%	45.7%	-39.2%	-31.1%	13.3%	-20.6%	0.9%	-2.8%	84.4%	38.3%	-19.8%	11.7%	7.3%	-0.1%
اللاعب الثاني	القيمة الفعلية	290.18	57.12	295.74	92.00	97.84	144.18	45.65	155.16	178.59	116.83	143.50	117.90	64.92	161.91	174.54
	نسبة الفروق %	26.2%	47.1%	26.8%	-31.0%	-35.5%	25.0%	9.0%	-0.3%	0.5%	93.4%	58.5%	-12.3%	51.4%	4.2%	4.8%
اللاعب الثالث	القيمة الفعلية	312.02	81.87	322.58	88.60	115.09	137.26	70.23	164.42	179.37	179.47	172.71	125.54	65.45	149.37	163.62
	نسبة الفروق %	35.7%	110.8%	38.3%	-33.6%	-24.1%	19.0%	67.6%	5.6%	0.9%	197.1%	90.7%	-6.6%	52.6%	-3.9%	-1.7%
اللاعب الرابع	القيمة الفعلية	248.21	48.17	252.84	57.82	97.76	134.90	49.64	120.62	161.57	141.06	133.83	85.00	78.55	147.91	171.47
	نسبة الفروق %	8.0%	24.0%	8.4%	-56.7%	-35.5%	16.9%	18.5%	-22.5%	-9.1%	133.5%	47.8%	-36.8%	83.2%	-4.8%	3.0%
اللاعب الخامس	القيمة الفعلية	313.09	71.24	321.10	68.57	96.66	138.75	72.67	148.50	154.84	125.36	146.04	121.76	71.70	151.79	156.53
	نسبة الفروق %	36.2%	83.5%	37.7%	-48.6%	-36.2%	20.3%	73.5%	-4.6%	-12.9%	107.5%	61.3%	-9.4%	67.2%	-2.4%	-6.0%
اللاعب السادس	القيمة الفعلية	314.69	37.55	316.93	89.16	109.06	139.15	35.54	146.82	174.38	136.72	150.53	127.02	53.10	156.46	175.86
	نسبة الفروق %	36.9%	-3.3%	35.9%	-33.2%	-28.1%	20.6%	-15.2%	-5.7%	-1.9%	126.3%	66.2%	-5.5%	23.9%	0.6%	5.6%
اللاعب السابع	القيمة الفعلية	275.20	33.24	277.20	136.14	155.69	113.90	61.84	161.53	177.51	48.43	97.86	138.85	54.49	152.49	179.67
	نسبة الفروق %	19.7%	-14.4%	18.9%	2.1%	2.7%	-1.3%	47.6%	3.7%	-0.1%	-19.8%	8.1%	3.3%	27.1%	-1.9%	7.9%

تابع جدول رقم (١) المسارات الحركية لقيم الفعلية والنموذج المستهدف ونسبة الفروق للمتغيرات قيد البحث للخطوة الأخيرة في الاقتراب

اللاعبين / البيان		كمية الحركة الأفقية للجسم	كمية الحركة الرأسية للجسم	كمية الحركة المحصلة للجسم	زاوية الكاحل الأيمن	زاوية الركبة اليمني	زاوية الفخذ الأيمن	زاوية الكتف الأيمن	زاوية المرفق الأيمن	زاوية رسغ اليد الأيمن	زاوية الكاحل الأيسر	زاوية الركبة اليسرى	زاوية الفخذ الأيسر	زاوية الكتف الأيسر	زاوية المرفق الأيسر	زاوية رسغ اليد الأيسر
اللاعب الثامن	القيمة الفعلية	203.90	43.06	208.39	77.20	112.67	146.10	61.74	151.11	171.28	140.90	161.39	114.23	84.69	156.23	165.39
	نسبة الفروق %	-11.3%	10.9%	-10.6%	-42.1%	-25.7%	26.7%	47.4%	-2.9%	-3.6%	133.3%	78.2%	-15.0%	97.5%	0.5%	-0.7%
اللاعب التاسع	القيمة الفعلية	280.02	43.74	283.42	84.90	105.19	136.99	52.09	165.11	169.94	168.04	176.76	123.13	53.30	138.72	175.13
	نسبة الفروق %	21.8%	12.6%	21.6%	-36.4%	-30.6%	18.8%	24.4%	6.0%	-4.4%	178.2%	95.2%	-8.4%	24.3%	-10.8%	5.2%
اللاعب العاشر	القيمة الفعلية	321.43	102.54	337.39	92.04	117.36	146.92	72.08	133.84	156.82	140.80	156.88	120.77	84.90	146.32	173.38
	نسبة الفروق %	39.8%	164.1%	44.7%	-31.0%	-22.6%	27.4%	72.1%	-14.0%	-11.8%	133.1%	73.2%	-10.2%	98.0%	-5.9%	4.1%
اللاعب الحادى عشر	القيمة الفعلية	251.50	40.08	254.68	149.80	166.32	111.97	64.90	165.91	174.67	65.04	101.80	141.74	60.49	168.32	175.55
	نسبة الفروق %	9.4%	3.2%	9.2%	12.3%	9.7%	-2.9%	54.9%	6.6%	-1.7%	7.7%	12.4%	5.4%	41.1%	8.3%	5.4%
اللاعب الثاني عشر	القيمة الفعلية	285.66	63.04	292.53	96.44	112.46	154.64	52.93	150.35	175.34	143.27	159.99	133.88	67.24	154.96	160.89
	نسبة الفروق %	24.2%	62.4%	25.5%	-27.7%	-25.8%	34.1%	26.4%	-3.4%	-1.4%	137.2%	76.7%	-0.4%	56.8%	-0.3%	-3.4%



الشكل البياني رقم (٢) الخاص بالمقارنة بين النموذج المستهدف والقيم الفعلية للمسارات الحركية للمتغيرات قيد البحث للاعبين خلال الخطوة الأخيرة في الاقتراب

يتضح من الجدول رقم (١) والاشكال البيانية رقم (١ ، ٢) الخاص بالمسارات الحركية لقيمة الفعلية والنماذج المستهدفة ونسبة الفروق للمتغيرات قيد البحث للخطوه الاخيره في الاقتراب ان تراوحت نسبة الفروق لعينة البحث للمتغيرات قيد البحث على النحو التالي:

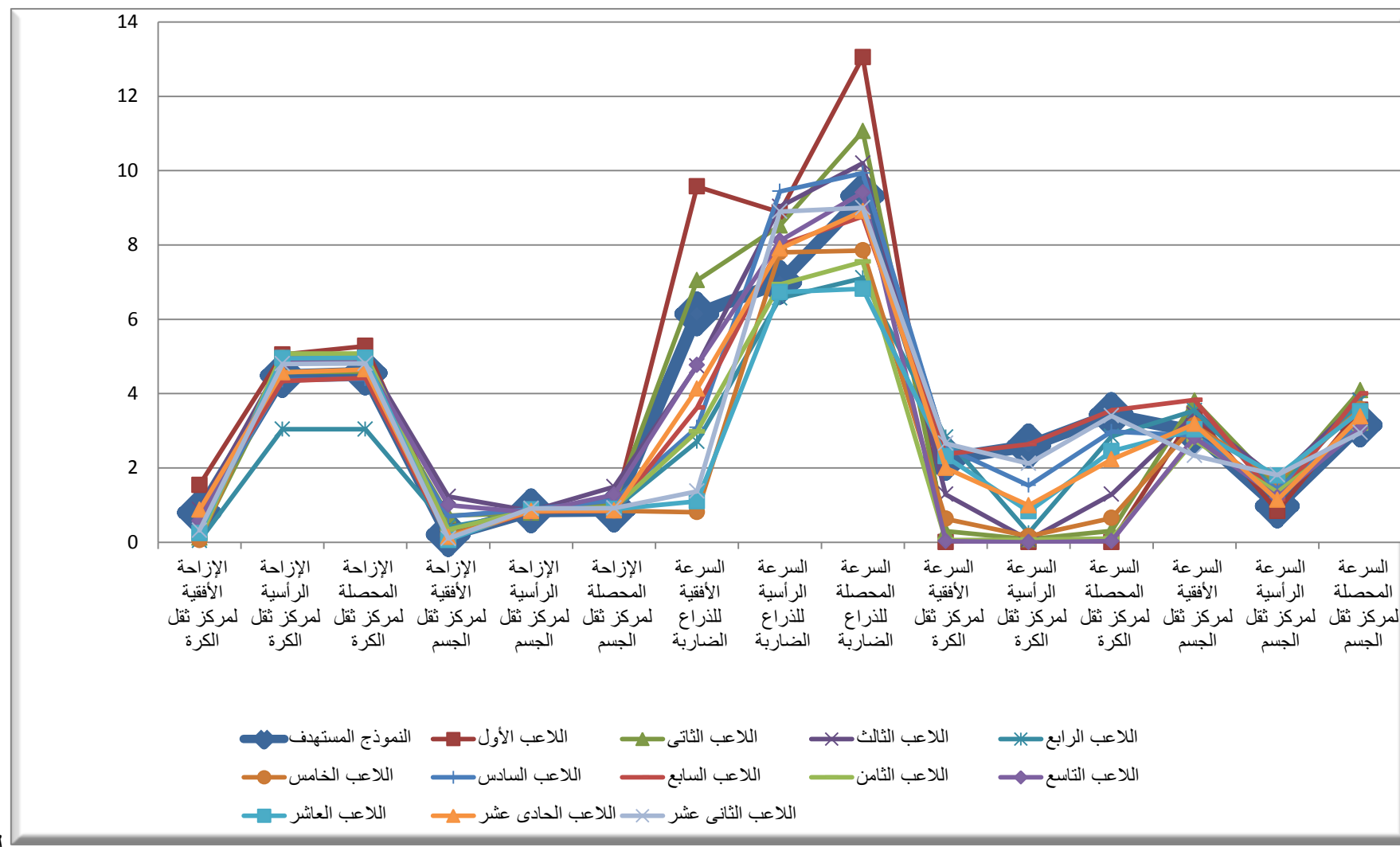
الإزاحة الأفقية لمركز ثقل الكرة تراوحت ما بين (٤٠.٤٠%) إلى (١٦.٨٠%) ، الإزاحة الرأسية لمركز ثقل الكرة تراوحت ما بين (٣٣.٣٠%) إلى (١١.٢٠%) ، الإزاحة المحصلة لمركز ثقل الكرة تراوحت ما بين (٣٤.٠٠%) إلى (٤.٣٠%) ، الإزاحة الأفقية لمركز ثقل الجسم تراوحت ما بين (٨٠.٧٠%) إلى (٢٧٦.٣٠%) ، الإزاحة الرأسية لمركز ثقل الجسم تراوحت ما بين (٧٠.٩٠%) إلى (٧.٣٠%) ، الإزاحة المحصلة لمركز ثقل الجسم تراوحت ما بين (٩٠.٢٠%) إلى (٩٠.١٠%) ، السرعة الأفقية للذراع الضاربة تراوحت ما بين (٧٥.٩٠%) إلى (١١.٢٠%) ، السرعة الرأسية للذراع الضاربة تراوحت ما بين (٦٠.١٢%) إلى (٢٠.١٢%) ، السرعة المحصلة للذراع الضاربة تراوحت ما بين (٣٤.٠٠%) إلى (٤٠.١٥%) ، السرعة الأفقية لمركز ثقل الكرة تراوحت ما بين (٠٠.١٠%) إلى (٠٠.١٠%) ، السرعة المحصلة لمركز ثقل الكرة تراوحت ما بين (٨.١٠%) إلى (٢٠.١٢%) ، السرعة الأفقية لمركز ثقل الجسم تراوحت ما بين (٠٠.١٠%) إلى (٠٠.١٢%) ، السرعة الرأسية لمركز ثقل الجسم تراوحت ما بين (٩٠.٥٧%) إلى (٩٠.٥٧%) ، السرعة المحصلة لمركز ثقل الكرة تراوحت ما بين (٣٠.١٣%) إلى (١٠.١٣%) ، كمية الحركة الأفقية للجسم تراوحت ما بين (٨.٢١%) إلى (٨.٢١%) ، كمية الحركة الرأسية لمركز ثقل الجسم تراوحت ما بين (٠٠.١٠%) إلى (٠٠.١٠%) ، كمية الحركة المحصلة لمركز ثقل الجسم تراوحت ما بين (٤٥.٤٠%) إلى (٤٧.٤٠%) ، كمية الحركة الرأسية لمركز ثقل للجسم تراوحت ما بين (٦٠.٤٥%) إلى (٦٤.١٠%) ، المحسنة للجسم تراوحت ما بين (٦٠.٦٠%) إلى (٦٠.١٠%) ، زاوية الكاحل الأيمن تراوحت ما بين (٧٠.٥٤%) إلى (٧٠.٤٥%) ، زاوية الكاحل الأيمن تراوحت ما بين (٧٠.٥٦%) إلى (٧٠.١٢%) ، زاوية الركبة اليمني تراوحت ما بين (٢٠.٣٦%) إلى (٢٠.٣٦%) ، زاوية الفخذ الأيمن تراوحت ما بين (٦٠.٦٠%) إلى (٦٠.٢٢%) ، زاوية رسم اليد الأيمن تراوحت ما بين (٩٠.١٢%) إلى (٩٠.٠٢%) ، زاوية الكاحل الأيسر تراوحت ما بين (٨٠.١٩%) إلى (٨٠.١٩%) ، زاوية الركبة اليسرى تراوحت ما بين (٨٠.٢٠%) إلى (٨٠.٩٨%) ، زاوية الفخذ الأيسر تراوحت ما بين (٨٠.٣٦%) إلى (٨٠.٣٦%) ، زاوية الكتف الأيسر تراوحت ما بين (٨٠.١١%) إلى (٨٠.٩٨%) ، زاوية المرفق الأيسر تراوحت ما بين (٨٠.١٠%) إلى (٨٠.١٠%) ، زاوية رسم اليد الأيسر تراوحت ما بين (٣٠.٨٣%) إلى (٣٠.٨٣%) ، زاوية رسم النموذج المستهدف.

أظهرت نتائج النموذج المستهدف خلال الخطوه الاخيره لاقتراب مقارنه باللاعبين لادئهم الفعلي بأن هذه المرحلة من المراحل الهامة حيث إستفاد اللاعب النموذج من الناحية الميكانيكية من خلال زيادة سرعة الاقتراب ومن كمية الحركة الخطية تحويلها الى راسية ويرى الباحثان تقارب تلك القيم لللاعبين خلال الاداء مما تسبب في فقد جزء من سرعة الاقتراب بهدف تحويلها الى سرعة راسية .

حيث يشير كلا من ريسان خرييط ، نجاح مجيد مهدي (١٩٩٢) أن خلال هذه المرحلة يتم تطبيق احدى مبادئ القانون الاول لنيوتن بما يخص بداية الحركة ويتبين ذلك خلال محاولة النموذج للاستفادة من تحويل السرعة الافقية خلال الاقتراب الى سرعة عمودية خلال الارتفاع وبالتالي تؤثر على باقي مراحل الاداء المهارى .

جدول رقم (٢) المسارات الحركية للقيم الفعلية والنماذج المستهدفة ونسبة الفروق للمتغيرات قيد البحث للحظة بداية الارتفاع (التحميد)

جدول رقم (٢) المسارات الحركية للقيم الفعلية والنماذج المستهدفة ونسبة الفروق للمتغيرات قيد البحث للحظة بداية الارتفاع (التحميد)



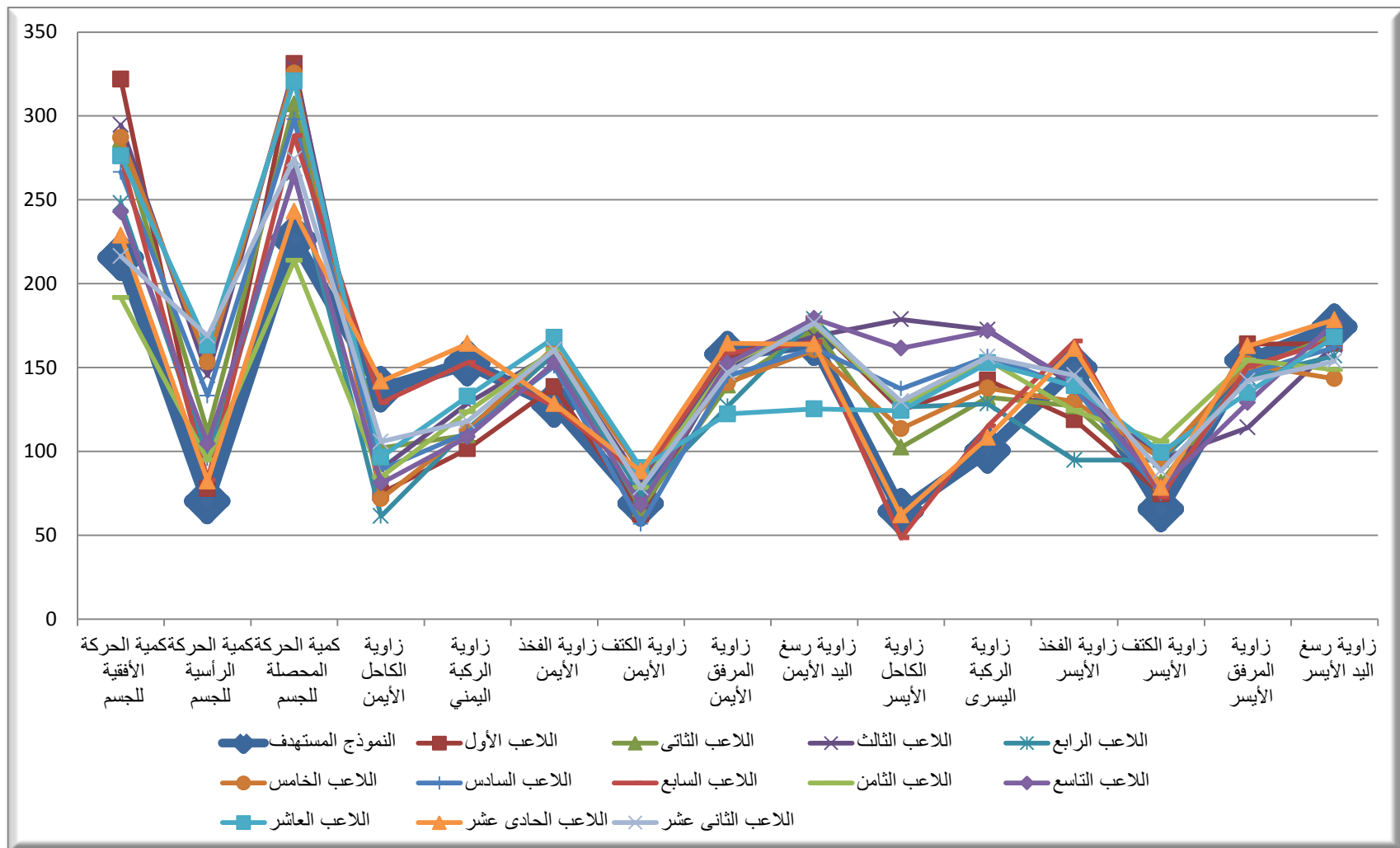
الشكل البياني رقم (٣) الخاص بالمقارنة بين النموذج المستهدف والقيم الفعلية ل المسارات الحركية للمتغيرات قيد البحث للاعبين خلال لحظة التخميد

تابع جدول رقم (٢) المسارات الحركية لقيم الفعلية والنموذج المستهدف ونسبة الفروق للمتغيرات قيد البحث للحظة بداية الارتفاع (التحميد)

اللاعبين / البيانات		كمية الحركة الأفقية للجسم	كمية الحركة الرأسية للجسم	كمية الحركة المحسنة للجسم	زاوية الكاحل الأيمن	زاوية الركبة اليمني	زاوية الفخذ الأيمن	زاوية الكتف الأيمن	زاوية المرفق الأيمن	زاوية رسم اليد الأيمن	زاوية الكاحل الأيسر	زاوية الركبة اليسرى	زاوية الفخذ الأيسر	زاوية الكتف الأيسر	زاوية المرفق الأيسر	زاوية رسم اليد الأيسر
النموذج المستهدف		215.44	70.19	226.58	136.92	152.52	127.82	68.79	157.83	164.63	64.14	100.44	149.69	65.47	154.27	174.21
اللاعب الأول	القيمة الفعلية	321.87	77.79	331.14	75.04	101.49	138.48	62.46	155.61	175.99	124.63	142.43	118.82	74.63	163.95	164.21
	نسبة الفروق %	49.4%	10.8%	46.1%	-45.2%	-33.5%	8.3%	-9.2%	-1.4%	6.9%	94.3%	41.8%	-20.6%	14.0%	6.3%	-5.7%
اللاعب الثاني	القيمة الفعلية	286.01	111.56	307.00	101.99	109.74	158.90	65.82	139.39	172.88	102.40	132.19	127.04	81.51	148.47	169.59
	نسبة الفروق %	32.8%	58.9%	35.5%	-25.5%	-28.0%	24.3%	-4.3%	-11.7%	5.0%	59.7%	31.6%	-15.1%	24.5%	-3.8%	-2.7%
اللاعب الثالث	القيمة الفعلية	294.58	145.31	328.46	89.46	128.64	159.18	82.13	152.06	168.65	178.70	172.48	139.40	95.36	114.20	163.26
	نسبة الفروق %	36.7%	107.0%	45.0%	-34.7%	-15.7%	24.5%	19.4%	-3.7%	2.4%	178.6%	71.7%	-6.9%	45.6%	-26.0%	-6.3%
اللاعب الرابع	القيمة الفعلية	247.98	95.68	265.80	61.34	113.45	157.83	74.03	126.81	178.74	126.48	128.36	94.78	94.75	144.23	156.99
	نسبة الفروق %	15.1%	36.3%	17.3%	-55.2%	-25.6%	23.5%	7.6%	-19.7%	8.6%	97.2%	27.8%	-36.7%	44.7%	-6.5%	-9.9%
اللاعب الخامس	القيمة الفعلية	287.08	153.25	325.42	71.83	112.19	162.24	88.59	140.88	160.43	113.54	137.62	129.78	95.78	152.12	143.28
	نسبة الفروق %	33.3%	118.4%	43.6%	-47.5%	-26.4%	26.9%	28.8%	-10.7%	-2.6%	77.0%	37.0%	-13.3%	46.3%	-1.4%	-17.8%
اللاعب السادس	القيمة الفعلية	266.55	133.20	297.98	89.12	111.16	150.82	56.68	144.91	161.45	137.32	156.47	138.07	74.71	146.51	162.01
	نسبة الفروق %	23.7%	89.8%	31.5%	-34.9%	-27.1%	18.0%	-17.6%	-8.2%	-1.9%	114.1%	55.8%	-7.8%	14.1%	-5.0%	-7.0%
اللاعب السابع	القيمة الفعلية	276.03	82.84	288.19	128.96	152.99	126.96	84.73	158.78	165.18	48.30	115.04	165.62	72.71	150.56	166.60
	نسبة الفروق %	28.1%	18.0%	27.2%	-5.8%	0.3%	-0.7%	23.2%	0.6%	0.3%	-24.7%	14.5%	10.6%	11.1%	-2.4%	-4.4%

تابع جدول رقم (٢) المسارات الحركية لقيم الفعلية والنموذج المستهدف ونسبة الفروق للمتغيرات قيد البحث للحظة بداية الارتفاع (التحميد)

اللاعبين / البيانات		كمية الحركة الأفقية للجسم	كمية الحركة الرأسية للجسم	كمية الحركة المحصلة للجسم	زاوية الكاحل الأيمن	زاوية الركبة اليمني	زاوية الفخذ الأيمن	زاوية الكتف الأيمن	زاوية المرفق الأيمن	زاوية رسم اليد الأيمن	زاوية الكاحل الأيسر	زاوية الركبة اليسرى	زاوية الفخذ الأيسر	زاوية الكتف الأيسر	زاوية المرفق الأيسر	زاوية رسم اليد الأيسر
اللاعب	الرقم	القيمة الفعلية	نسبة الفروق %	القيمة الفعلية	نسبة الفروق %	القيمة الفعلية	نسبة الفروق %	القيمة الفعلية	نسبة الفروق %	القيمة الفعلية	نسبة الفروق %	القيمة الفعلية	نسبة الفروق %	القيمة الفعلية	نسبة الفروق %	
اللاعب الثامن	القيمة الفعلية	191.67	94.70	213.78	84.74	123.59	160.45	78.47	152.31	175.61	127.54	154.47	124.25	105.92	154.41	148.75
	نسبة الفروق %	-11.0%	34.9%	-5.6%	-38.1%	-19.0%	25.5%	14.1%	-3.5%	6.7%	98.9%	53.8%	-17.0%	61.8%	0.1%	-14.6%
اللاعب التاسع	القيمة الفعلية	242.67	104.43	264.19	81.05	108.61	152.77	68.01	152.43	179.16	161.45	171.75	141.06	78.73	129.09	176.57
	نسبة الفروق %	12.6%	48.8%	16.6%	-40.8%	-28.8%	19.5%	-1.1%	-3.4%	8.8%	151.7%	71.0%	-5.8%	20.2%	-16.3%	1.4%
اللاعب العاشر	القيمة الفعلية	276.11	163.10	320.69	96.48	132.76	167.86	90.13	122.32	125.29	124.24	152.72	139.06	99.38	135.04	167.98
	نسبة الفروق %	28.2%	132.4%	41.5%	-29.5%	-13.0%	31.3%	31.0%	-22.5%	-23.9%	93.7%	52.0%	-7.1%	51.8%	-12.5%	-3.6%
اللاعب الحادى عشر	القيمة الفعلية	228.77	82.24	243.10	141.72	164.21	128.45	88.13	164.47	163.92	61.99	108.32	161.24	78.36	162.81	178.44
	نسبة الفروق %	6.2%	17.2%	7.3%	3.5%	7.7%	0.5%	28.1%	4.2%	-0.4%	-3.3%	7.8%	7.7%	19.7%	5.5%	2.4%
اللاعب الثاني عشر	القيمة الفعلية	216.36	168.78	274.41	105.77	118.00	160.49	78.16	146.85	176.56	129.84	156.35	145.37	88.43	142.14	153.65
	نسبة الفروق %	0.4%	140.5%	21.1%	-22.8%	-22.6%	25.6%	13.6%	-7.0%	7.2%	102.4%	55.7%	-2.9%	35.1%	-7.9%	-11.8%



الشكل البياني رقم (٤) الخاص بالمقارنة بين النموذج المستهدف والقيم الفعلية للمسارات الحركية للمتغيرات قيد البحث للاعبين خلال لحظة التخميد

يتضح من الجدول رقم (٢) والشكل (٥)، (٦) الخاص بالمسارات الحركية للفيم الفعلية والنموذج المستهدف ونسبة الفروق للمتغيرات قيد البحث للحظة (بداية الارتفاع) ان تراوحت نسبة الفروق لعينة البحث للمتغيرات قيد البحث على النحو التالي :

الإرادة الأفقية لمركز ثقل الكرة تراوحت ما بين 94.60% - 95.50%، الإرادة الرأسية لمركز ثقل الكرة تراوحت ما بين 32.20% - 32.20%، الإرادة المحسنة لمركز ثقل الكرة تراوحت ما بين 13.20% - 16.00%، الإرادة الأفقية لمركز ثقل الجسم تراوحت ما بين 511.80% - 70.50%، الإرادة الرأسية لمركز ثقل الجسم تراوحت ما بين 9.00% - 6.10%， الإرادة المحسنة لمركز ثقل الجسم تراوحت ما بين 72.30% - 72.70%， السرعة الأفقية للذراع الضاربة تراوحت ما بين 55.70% - 86.80%، السرعة الرأسية للذراع الضاربة تراوحت ما بين 6.00% - 2.70%， السرعة المحسنة للذراع الضاربة تراوحت ما بين 35.00% - 40.20%， السرعة الأفقية لمركز ثقل الكرة تراوحت ما بين 26.10% - 40.00%， السرعة الرأسية لمركز ثقل الكرة تراوحت ما بين 100.00% - 100.00%， السرعة المحسنة لمركز ثقل الكرة تراوحت ما بين 2.10% - 3.60%， السرعة الأفقية لمركز ثقل الجسم تراوحت ما بين 22.20% - 28.10%， السرعة الرأسية لمركز ثقل الجسم تراوحت ما بين 14.20% - 10.80%， السرعة المحسنة لمركز ثقل الجسم تراوحت ما بين 30.10% - 6.20%， كمية الحركة الأفقية للجسم تراوحت ما بين 11.00% - 49.40%， كمية الحركة الرأسية للجسم تراوحت ما بين 10.80% - 140.50%， كمية الحركة المحسنة للجسم تراوحت ما بين 5.60% - 46.10%， زاوية الكاحل الأيمن تراوحت ما بين 33.50% - 55.20%， زاوية الركبة اليمنى تراوحت ما بين 7.70% - 3.50%， زاوية الفخذ الأيمن تراوحت ما بين 17.60% - 31.30%， زاوية الكتف الأيمن تراوحت ما بين 22.50% - 4.20%， زاوية رسغ اليد الأيمن تراوحت ما بين 23.90% - 8.80%， زاوية الكاحل الأيسر تراوحت ما بين 24.70% - 178.60%， زاوية الركبة اليسرى تراوحت ما بين 7.80% - 71.70%， زاوية الفخذ الأيسر تراوحت ما بين 26.00% - 11.10%， زاوية المرفق الأيسر تراوحت ما بين 10.60% - 36.70%， زاوية الكتف الأيسر تراوحت ما بين 6.30% - 11.80%， زاوية رسغ اليد الأيسر تراوحت ما بين 2.40% - 17.80% لصالح النموذج المستهدف.

فالهدف من الارتفاع هو الاستفادة من زيادة السرعة الأفقية المكتسبة خلال الارتفاع لتحويلها للسرعة الراسية كما ذكرنا سابقا في الخطوة الأخيرة للاقتراب حيث أن خلال هذه المرحلة يكون مركز ثقل الجسم أماماً القدمين مما يعمل على تجميع وامتصاص القوه الدافعه الافقية التي تنتج خلال خطوات الاقتراب وتحولها الى قوه دفع راسية .

ويشير الباحثان الى ان سرعة الاقتراب للاعب ليس بالضروره ان تكون عاليه ولكن منايب بالقدر الذي يسمح بتحويلها الى سرعة راسية وتقليل فقد السرعة الافقية من التخميد حيث أن زمن التخميد وفقد السرعة الافقية يؤثران بالسلب على علي الارتفاع لأن ذلك يؤدي الي زيادة عمق زوايا الرجلين خلال التخميد اعتقادا منه انه يتيح للاعب بالارتفاع المطلوب للكرة المرفوعه .

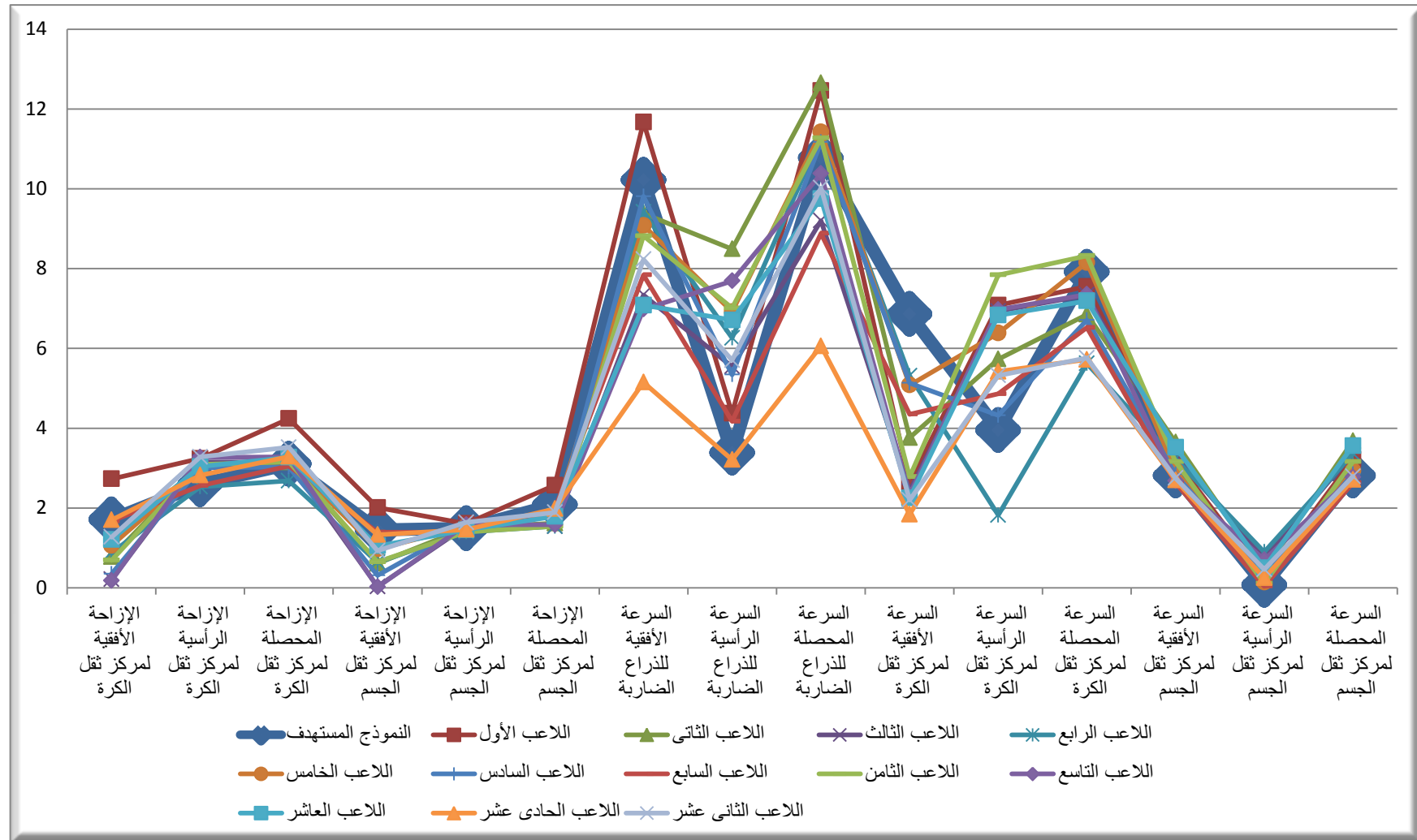
بالاضافة الي ان زمن الدفع هام جدا في هذه اللحظه حيث أن يرتبط زمن الدفع بزياده أو نقصان في كمية القوه وبالتألي في الوثب لاعلي مما قد يؤثر على نجاح المهاره حيث يساعد ذلك علي ارتفاع قوس الطيران ، لأن من اسباب نجاح الارسال بالوثب هو وصول اللاعب الي مستوى موازي للشبكة ويقوم بضرب الكرة وذلك يتطلب ضربها فوق السطح العلوي للشبكة مما يزيد من زاوية طيران الجسم .

جدول رقم (٣) المسارات الحركية لقيم الفعلية والنموذج المستهدف ونسبة الفروق للمتغيرات قيد البحث للحظة (أقصى ارتفاع لمراكز الثقل خلال الطيران)

اللاعبين / البيان		الإزاحة الأفقية ل:center>مركز ث:center>ثقل الكرة	الإزاحة الرأسية ل:center>مركز ث:center>ثقل الكرة	الإزاحة المحصلة ل:center>مركز ث:center>ثقل الكرة	الإزاحة الأفقية ل:center>مركز ث:center>ثقل الجسم	الإزاحة الرأسية ل:center>مركز ث:center>ثقل الجسم	الإزاحة المحصلة ل:center>مركز ث:center>ثقل الجسم	السرعة الأفقية للذراع الضاربة	السرعة الرأسية للذراع الضاربة	السرعة المحصلة للذراع الضاربة	السرعة الأفقية ل:center>مركز ث:center>ثقل الكرة	السرعة الرأسية ل:center>مركز ث:center>ثقل الكرة	السرعة المحصلة ل:center>مركز ث:center>ثقل الكرة	السرعة الأفقية ل:center>مركز ث:center>ثقل الجسم	السرعة الرأسية ل:center>مركز ث:center>ثقل الجسم	السرعة المحصلة ل:center>مركز ث:center>ثقل الجسم
النموذج المستهدف		1.71	2.59	3.10	1.45	1.49	2.08	10.22	3.38	10.77	6.86	3.95	7.91	2.81	0.07	2.81
اللاعب الأول	القيمة الفعلية	2.73	3.24	4.24	2.01	1.61	2.57	11.67	4.37	12.46	2.63	7.08	7.55	3.21	0.25	3.22
	نسبة الفروق %	59.5%	25.4%	36.7%	38.6%	8.2%	23.9%	14.2%	29.2%	15.7%	-61.6%	79.2%	-4.6%	14.2%	266.4%	14.5%
اللاعب الثاني	القيمة الفعلية	0.78	3.05	3.15	0.61	1.50	1.62	9.38	8.49	12.65	3.76	5.73	6.85	3.65	0.42	3.68
	نسبة الفروق %	-54.6%	17.8%	1.4%	-57.6%	0.5%	-22.2%	-8.3%	150.9%	17.4%	-45.2%	45.0%	-13.4%	29.9%	511.2%	30.7%
اللاعب الثالث	القيمة الفعلية	0.21	3.15	3.15	0.03	1.54	1.54	7.34	5.54	9.20	2.42	6.93	7.34	3.29	0.76	3.37
	نسبة الفروق %	-87.6%	21.6%	1.7%	-97.7%	3.5%	-25.9%	-28.2%	63.6%	-14.6%	-64.7%	75.4%	-7.2%	16.9%	989.5%	19.9%
اللاعب الرابع	القيمة الفعلية	0.88	2.53	2.68	0.64	1.40	1.54	9.42	6.26	11.31	5.31	1.82	5.62	3.23	0.90	3.36
	نسبة الفروق %	-48.8%	-2.0%	-13.5%	-55.8%	-5.8%	-25.8%	-7.9%	85.1%	5.0%	-22.5%	-53.9%	-29.0%	15.0%	1192.2%	19.3%
اللاعب الخامس	القيمة الفعلية	1.06	3.01	3.19	0.97	1.54	1.82	9.08	6.92	11.42	5.08	6.38	8.15	2.93	0.14	2.93
	نسبة الفروق %	-38.2%	16.2%	2.8%	-33.1%	3.6%	-12.3%	-11.2%	104.6%	6.0%	-25.9%	61.4%	3.0%	4.2%	107.8%	4.3%
اللاعب السادس	القيمة الفعلية	0.35	3.01	3.03	0.31	1.55	1.58	9.81	5.34	11.17	5.13	4.32	6.71	2.84	0.27	2.85
	نسبة الفروق %	-79.8%	16.4%	-2.3%	-78.4%	4.2%	-23.9%	-4.0%	57.7%	3.7%	-25.1%	9.4%	-15.2%	1.0%	283.1%	1.4%

تابع جدول رقم (٣) المسارات الحركية لقيم الفعلية والنموذج المستهدف ونسبة الفروق للمتغيرات قيد البحث للحظة (أقصى ارتفاع لمراكز الثقل خلال الطيران)

اللاعبين / البيان		الإزاحة الأفقية ل:center>لمركز ثقل الكرة	الإزاحة الرأسية ل:center>لمركز ثقل الكرة	الإزاحة المحصلة ل:center>لمركز ثقل الكرة	الإزاحة الأفقية ل:center>لمركز ثقل الجسم	الإزاحة الرأسية ل:center>لمركز ثقل الجسم	الإزاحة المحصلة ل:center>لمركز ثقل الجسم	السرعة الأفقية للذراع الضاربة	السرعة الرأسية للذراع الضاربة	السرعة المحصلة للذراع الضاربة	السرعة الأفقية ل:center>لمركز ثقل الكرة	السرعة الرأسية ل:center>لمركز ثقل الكرة	السرعة المحصلة ل:center>لمركز ثقل الكرة	السرعة الأفقية ل:center>لمركز ثقل الجسم	السرعة الرأسية ل:center>لمركز ثقل الجسم	السرعة المحصلة ل:center>لمركز ثقل الجسم
اللاعب	القيمة الفعلية	1.67	2.56	3.05	1.39	1.39	1.97	7.84	4.17	8.88	4.35	4.86	6.52	2.63	0.04	2.63
اللاعب السابع	نسبة الفروق %	-2.6%	-1.0%	-1.5%	-4.0%	-6.7%	-5.4%	-23.3%	23.1%	-17.6%	-36.5%	22.9%	-17.6%	-6.4%	-36.0%	-6.4%
اللاعب الثامن	القيمة الفعلية	0.69	3.09	3.16	0.65	1.40	1.54	8.82	7.01	11.27	2.78	7.84	8.32	3.16	0.11	3.16
اللاعب الحادي عشر	نسبة الفروق %	-59.4%	19.4%	2.1%	-54.9%	-6.0%	-25.7%	-13.7%	107.3%	4.6%	-59.4%	98.4%	5.1%	12.4%	64.4%	12.5%
اللاعب الحادي عشر	القيمة الفعلية	0.18	3.27	3.28	0.02	1.58	1.58	6.98	7.69	10.38	2.33	6.97	7.35	2.68	0.70	2.77
اللاعب الحادي عشر	نسبة الفروق %	-89.2%	26.4%	5.6%	-98.6%	6.1%	-24.0%	-31.7%	127.2%	-3.6%	-66.0%	76.5%	-7.1%	-4.8%	907.3%	-1.6%
اللاعب العاشر	القيمة الفعلية	1.21	3.04	3.27	1.05	1.45	1.79	7.08	6.71	9.75	2.25	6.83	7.19	3.52	0.50	3.56
اللاعب الحادي عشر	نسبة الفروق %	-29.4%	17.5%	5.4%	-27.5%	-2.4%	-13.7%	-30.8%	98.2%	-9.5%	-67.2%	72.8%	-9.1%	25.3%	619.9%	26.5%
اللاعب الحادي عشر	القيمة الفعلية	1.70	2.82	3.29	1.33	1.46	1.98	5.15	3.21	6.06	1.84	5.42	5.72	2.70	0.25	2.71
اللاعب الحادي عشر	نسبة الفروق %	-0.7%	9.2%	6.3%	-8.0%	-2.0%	-4.9%	-49.7%	-5.3%	-43.7%	-73.2%	37.1%	-27.7%	-4.1%	262.8%	-3.7%
اللاعب الحادي عشر	القيمة الفعلية	1.27	3.28	3.52	0.93	1.64	1.89	8.23	5.70	10.02	2.20	5.32	5.76	2.75	0.46	2.79
اللاعب الحادي عشر	نسبة الفروق %	-26.0%	27.0%	13.5%	-35.8%	10.3%	-9.2%	-19.5%	68.6%	-7.0%	-67.9%	34.7%	-27.2%	-2.1%	556.1%	-0.8%



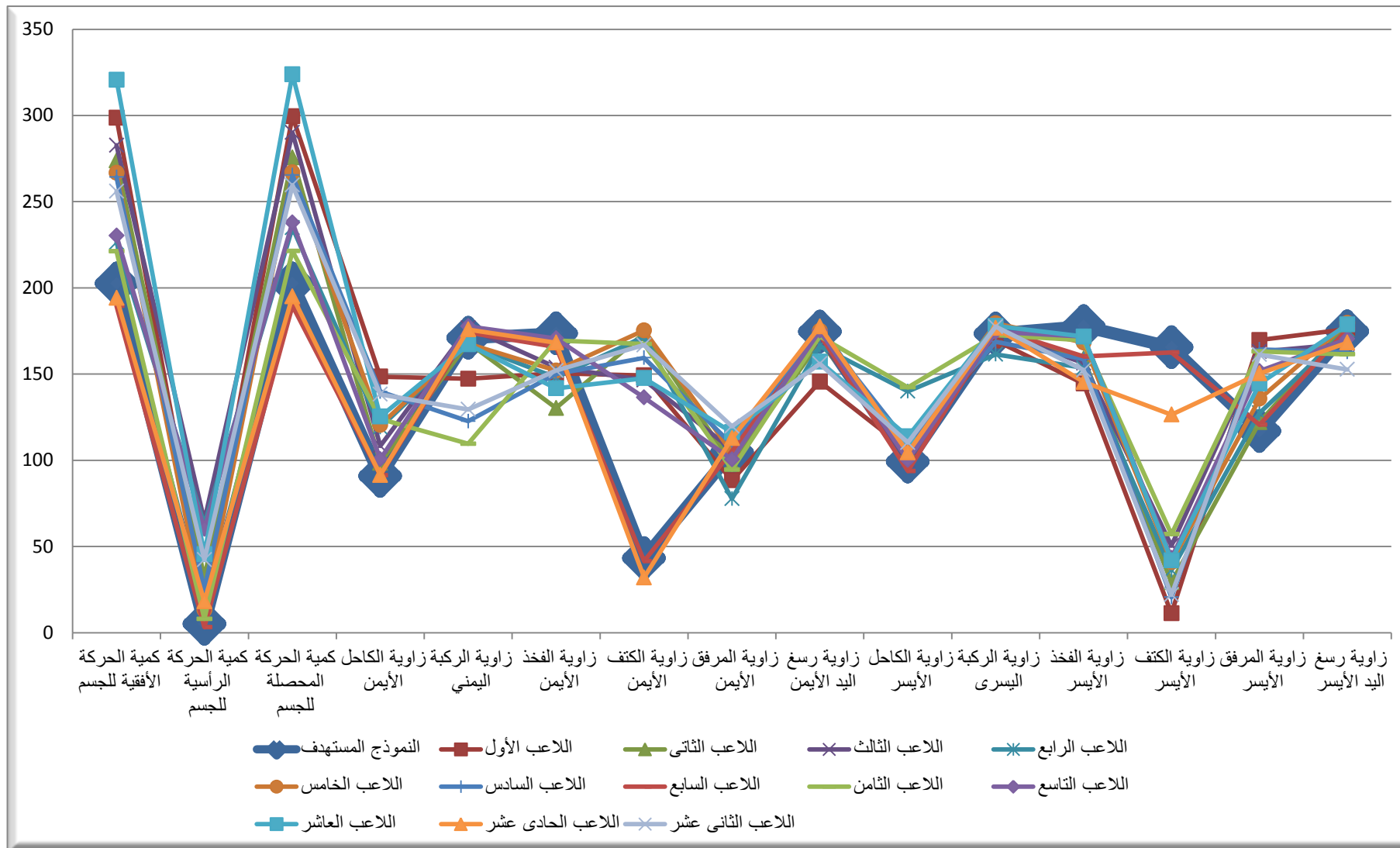
الشكل البياني رقم (٥) الخاص بالمقارنة بين النموذج المستهدف والقيم الفعلية للمسارات الحركية للمتغيرات قيد البحث للاعبين خلال لحظة (أقصى ارتفاع لمركز الثقل خلال الطيران)

تابع جدول رقم (٣) المسارات الحركية لقيم الفعلية والنموذج المستهدف ونسبة الفروق للمتغيرات قيد البحث للحظة (أقصى ارتفاع لمراكز الثقل خلال الطيران)

اللاعبين / البيان		كمية الحركة الأفقية للجسم	كمية الحركة الرأسية للجسم	كمية الحركة المحصلة للجسم	زاوية الكاحل الأيمن	زاوية الركبة اليمني	زاوية الفخذ الأيمن	زاوية الكتف الأيمن	زاوية المرفق الأيمن	زاوية رسغ اليد الأيمن	زاوية الكاحل الأيسر	زاوية الركبة اليسرى	زاوية الفخذ الأيسر	زاوية الكتف الأيسر	زاوية المرفق الأيسر	زاوية رسغ اليد الأيسر
النموذج المستهدف		202.44	5.00	202.50	90.80	170.91	173.56	43.19	104.68	174.54	99.20	173.49	177.70	165.52	116.85	174.77
اللاعب الأول	القيمة الفعلية	298.58	23.65	299.51	148.51	147.24	150.43	149.21	88.37	145.54	105.57	169.46	144.44	11.18	169.69	176.12
	نسبة الفروق %	47.5%	373.3%	47.9%	63.6%	-13.8%	-13.3%	245.5%	-15.6%	-16.6%	6.4%	-2.3%	-18.7%	-93.2%	45.2%	0.8%
اللاعب الثاني	القيمة الفعلية	273.82	31.82	275.66	98.49	168.39	130.31	173.58	97.83	168.64	106.25	175.96	159.04	29.17	122.11	179.03
	نسبة الفروق %	35.3%	536.7%	36.1%	8.5%	-1.5%	-24.9%	301.9%	-6.5%	-3.4%	7.1%	1.4%	-10.5%	-82.4%	4.5%	2.4%
اللاعب الثالث	القيمة الفعلية	282.71	65.02	290.09	108.34	176.75	153.92	146.52	106.20	170.29	99.89	174.74	156.35	50.48	163.02	167.58
	نسبة الفروق %	39.7%	1201.3%	43.3%	19.3%	3.4%	-11.3%	239.3%	1.5%	-2.4%	0.7%	0.7%	-12.0%	-69.5%	39.5%	-4.1%
اللاعب الرابع	القيمة الفعلية	226.38	62.78	234.92	119.17	167.39	148.08	171.59	77.67	166.34	140.03	161.46	153.58	36.19	127.52	175.68
	نسبة الفروق %	11.8%	1156.3%	16.0%	31.2%	-2.1%	-14.7%	297.3%	-25.8%	-4.7%	41.2%	-6.9%	-13.6%	-78.1%	9.1%	0.5%
اللاعب الخامس	القيمة الفعلية	266.62	13.12	266.94	120.53	167.63	152.05	175.30	104.63	175.02	108.61	179.42	168.25	40.88	135.69	179.56
	نسبة الفروق %	31.7%	162.6%	31.8%	32.7%	-1.9%	-12.4%	305.9%	0.0%	0.3%	9.5%	3.4%	-5.3%	-75.3%	16.1%	2.7%
اللاعب السادس	القيمة الفعلية	264.18	24.73	265.33	139.80	122.65	150.10	159.42	109.23	174.87	109.94	168.80	158.67	20.58	164.33	162.71
	نسبة الفروق %	30.5%	394.9%	31.0%	54.0%	-28.2%	-13.5%	269.1%	4.4%	0.2%	10.8%	-2.7%	-10.7%	-87.6%	40.6%	-6.9%

تابع جدول رقم (٣) المسارات الحركية لقيم الفعلية والنموذج المستهدف ونسبة الفروق للمتغيرات قيد البحث للحظة (أقصى ارتفاع لمركز الثقل خلال الطيران)

اللاعبين / البيان		كمية الحركة الأفقية للجسم	كمية الحركة الرأسية للجسم	كمية الحركة المحصلة للجسم	زاوية الكاحل الأيمن	زاوية الركبة اليمني	زاوية الفخذ الأيمن	زاوية الكتف الأيمن	زاوية المرفق الأيمن	زاوية رسغ اليد الأيمن	زاوية الكاحل الأيسر	زاوية الركبة اليسرى	زاوية الفخذ الأيسر	زاوية الكتف الأيسر	زاوية المرفق الأيسر	زاوية رسغ اليد الأيسر
اللاعب السابع	القيمة الفعلية	189.53	3.20	189.56	91.22	174.14	165.68	41.48	105.23	172.93	93.73	176.28	160.22	162.50	120.56	176.09
	نسبة الفروق %	-6.4%	-36.0%	-6.4%	0.5%	1.9%	-4.5%	-3.9%	0.5%	-0.9%	-5.5%	1.6%	-9.8%	-1.8%	3.2%	0.8%
اللاعب الثامن	القيمة الفعلية	221.25	7.99	221.39	124.03	109.58	169.46	167.44	94.61	171.87	142.30	172.62	169.65	57.12	163.12	161.42
	نسبة الفروق %	9.3%	59.8%	9.3%	36.6%	-35.9%	-2.4%	287.7%	-9.6%	-1.5%	43.4%	-0.5%	-4.5%	-65.5%	39.6%	-7.6%
اللاعب التاسع	القيمة الفعلية	230.23	60.12	237.95	100.68	177.68	170.64	136.41	100.53	175.12	100.13	174.50	171.76	43.33	151.75	170.35
	نسبة الفروق %	13.7%	1103.2%	17.5%	10.9%	4.0%	-1.7%	215.8%	-4.0%	0.3%	0.9%	0.6%	-3.3%	-73.8%	29.9%	-2.5%
اللاعب العاشر	القيمة الفعلية	320.65	45.46	323.85	125.30	167.21	141.72	147.65	116.26	157.23	113.84	177.91	171.77	41.93	144.50	178.69
	نسبة الفروق %	58.4%	809.9%	59.9%	38.0%	-2.2%	-18.3%	241.9%	11.1%	-9.9%	14.8%	2.5%	-3.3%	-74.7%	23.7%	2.2%
اللاعب الحادى عشر	القيمة الفعلية	194.22	18.13	195.06	91.42	175.83	168.23	32.03	112.78	177.60	104.46	176.75	145.41	126.51	150.37	168.24
	نسبة الفروق %	-4.1%	262.8%	-3.7%	0.7%	2.9%	-3.1%	-25.8%	7.7%	1.8%	5.3%	1.9%	-18.2%	-23.6%	28.7%	-3.7%
اللاعب الثانى عشر	القيمة الفعلية	256.09	42.34	259.57	138.26	129.51	152.04	166.83	119.71	155.98	110.31	177.52	152.33	22.02	161.31	152.69
	نسبة الفروق %	26.5%	747.4%	28.2%	52.3%	-24.2%	-12.4%	286.3%	14.4%	-10.6%	11.2%	2.3%	-14.3%	-86.7%	38.1%	-12.6%



الشكل البياني رقم (٦) الخاص بالمقارنة بين النموذج المستهدف والقيم الفعلية للمسارات الحركية للمتغيرات قيد البحث للاعبين خلال لحظة أقصى ارتفاع مركز ثقل الجسم

تضجع من الجدول رقم (٣) والاشكال رقم (٥ ، ٦) الخاص بالمسارات الحركية للقيم الفعلية والنموذج المستهدف ونسبة الفروق للمتغيرات قيد البحث للحظة اقصى ارتفاع لمركز الثقل خلال الطيران ان تراوحت نسبة الفروق لعينة البحث للمتغيرات قيد البحث على النحو التالي:

الإزاحة الأفقية لمركز ثقل الكرة تراوحت ما بين 59.50% - 89.20%، الإزاحة الرأسية لمركز ثقل الكرة تراوحت ما بين 2.00% - 27.00%، الإزاحة المحصلة لمركز ثقل الكرة تراوحت ما بين 3.50% - 36.70%، الإزاحة الأفقية لمركز ثقل الجسم تراوحت ما بين 38.60% - 98.60%، الإزاحة الرأسية لمركز ثقل الجسم تراوحت ما بين 23.90% - 25.90%، السرعة الأفقية للذراع الضاربة تراوحت ما بين 10.30% - 14.20%، السرعة الرأسية للذراع الضاربة تراوحت ما بين 5.30% - 150.90%، السرعة المحصلة للذراع الضاربة تراوحت ما بين 49.70% - 70%، السرعة الرأسية لمركز ثقل الكرة تراوحت ما بين 17.40% - 70%، السرعة الرأسية لمركز ثقل الكرة تراوحت ما بين 5.10% - 29.00%، السرعة الأفقية لمركز ثقل الجسم تراوحت ما بين 53.90% - 98.40%， السرعة المحصلة لمركز ثقل الكرة تراوحت ما بين 6.40% - 1192.20%， السرعة الرأسية لمركز ثقل الجسم تراوحت ما بين 36.00% - 30.70%， كمية الحركة الأفقية للجسم تراوحت ما بين 36.00% - 58.40%， كمية الحركة الرأسية للجسم تراوحت ما بين 36.00% - 1201.30%， كمية الحركة المحصلة للجسم تراوحت ما بين 6.40% - 24.90%， زاوية الكاحل الأيمن تراوحت ما بين 0.50% - 63.60%， زاوية الركبة اليمني تراوحت ما بين 35.90% - 4.00%， زاوية الفخذ الأيمن تراوحت ما بين 25.80% - 1.70%， زاوية الكتف الأيمن تراوحت ما بين 14.40% - 25.80%， زاوية رسم اليد الأيمن تراوحت ما بين 16.60% - 1.80%， زاوية الكاحل الأيسر تراوحت ما بين 5.50% - 43.40%， زاوية الركبة اليسرى تراوحت ما بين 6.90% - 3.40%， زاوية الفخذ الأيسر تراوحت ما بين 18.70% - 3.30%， زاوية الكتف الأيسر تراوحت ما بين 93.20% - 1.80%， زاوية المرفق الأيسر تراوحت ما بين 3.20% - 45.20%， زاوية رسم اليد الأيسر تراوحت ما بين 12.60% - 2.70% لصالح النموذج المستهدف.

يتافق الباحثان مع سوسن عبد المنعم (١٩٩١) أن أقصى ارتفاع لمركز ثقل الجسم أثناء الطيران يعتمد على زيادة القوه الديناميكية للرجلين خلال كسر الاتصال والدفع بالقدمين بالمقابل يؤثر على الذراع الضاربة وبالتالي على الاداء المهاري .

ويعززو الباحثان الى ان زياده ارتفاع مركز ثقل الجسم الذي اتضجع من خلال اداء النموذج المستهدف انه ادي الى زيادة القدرة على دقة وتوجيه الكرة حيث تساعد اللاعب على فتره بقاء اكبر في الهواء مما يعطي له فرصة بادراك موضع اللاعبين المنافسين حيث يدل انخفاض مركز ثقل الجسم أثناء الطيران على قوه الدفع والتخميد وبالتالي يؤثر على فتره البقاء في الهواء .

وذلك لأن ارتفاع مركز ثقل الجسم وسرعة الرأسية وزاية ميله على الافقى خلال الارتفاع يرتبط بارتفاع الطيران اللاعب بعد كسر الاتصال بالإضافة الى زوايا الجذع خلال لحظه الضرب حيث يقل القوس المشود للجذع خلال الضرب وهذا يؤثر على قوه الضرب وسرعة الكرة نتيجه لنقل كمية الحركة من الجذع الى الذراع الضاربة .

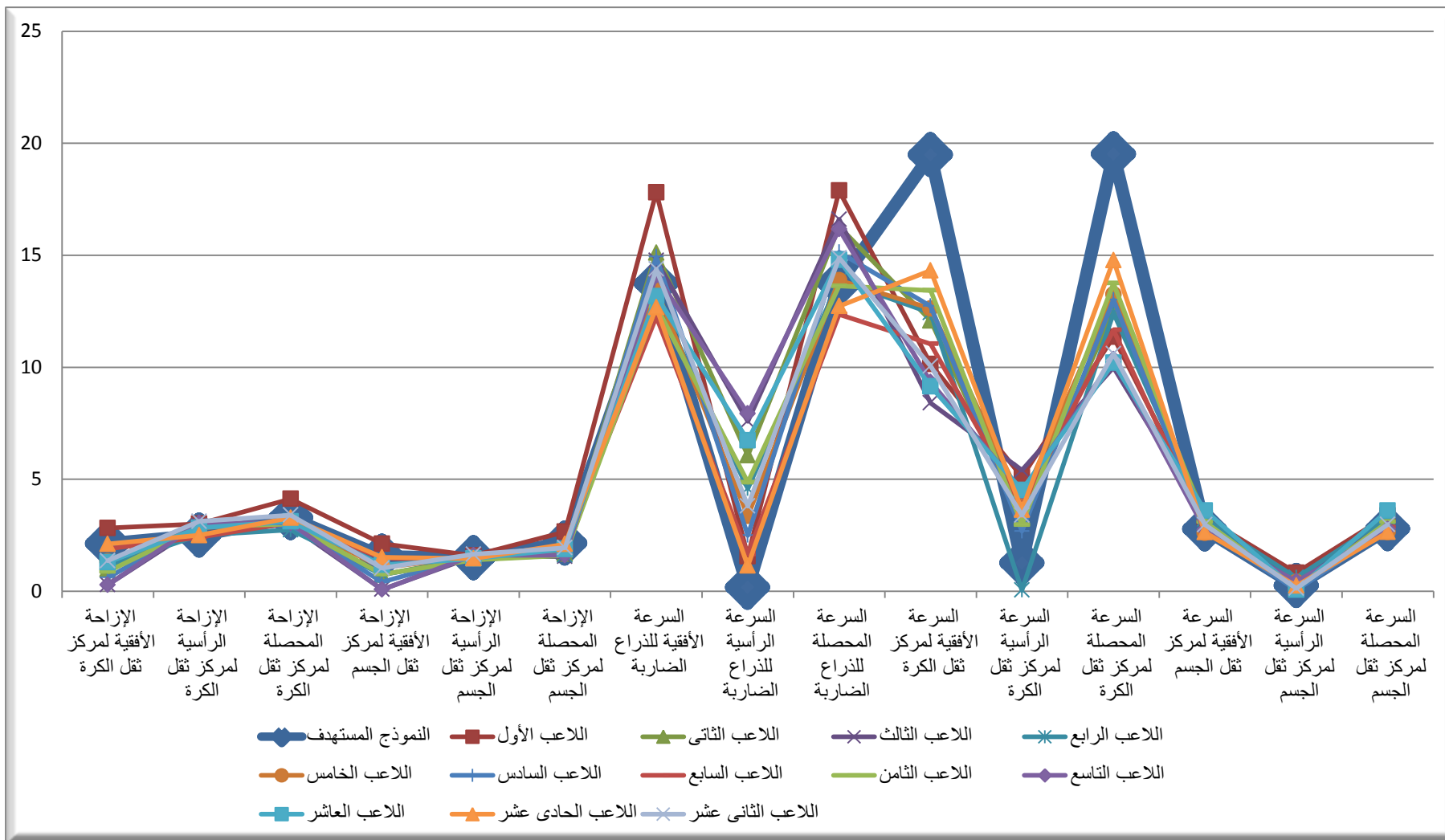
تنتفق النتائج مع ما اشار اليه ماركس (٢٠١٧) بأن اداء اللاعب (النموذج المستهدف) أعتمد على نموذج ماغنوس حيث يسعى الى الوصول لاقصى ارتفاع ممكن لكي يستطيع ضرب الكرة من اعلى نقطة لاعطائها مسار مستقيم حيث يتم توجيهها في المنطقه الامامية من ملعب الخصم وهو المكان الذي يصعب على اللاعب المدافع عن الارسال الوصول اليه بسهوله.

جدول رقم (٤) المسارات الحركية لقيم الفعلية والنموذج المستهدف ونسبة الفروق للمتغيرات قيد البحث للحظة (الضرب)

اللاعبين / البيانات		الإزاحة الأفقية لمركز ثقل الكرة	الإزاحة الرأسية لمركز ثقل الكرة	الإزاحة المحصلة لمركز ثقل الكرة	الإزاحة الأفقية لمركز ثقل الجسم	الإزاحة الرأسية لمركز ثقل الجسم	الإزاحة المحصلة لمركز ثقل الجسم	السرعة الأفقية للذراع الضاربة	السرعة الرأسية للذراع الضاربة	السرعة المحصلة للذراع الضاربة	السرعة الأفقية لمركز ثقل ثقل الكرة	السرعة الرأسية لمركز ثقل ثقل الكرة	السرعة المحصلة لمركز ثقل ثقل الكرة	السرعة الأفقية لمركز ثقل الجسم	السرعة الرأسية لمركز ثقل الجسم	السرعة المحصلة لمركز ثقل الجسم
النموذج المستهدف		2.12	2.50	3.27	1.55	1.48	2.14	13.73	0.16	13.74	19.48	1.25	19.52	2.77	0.24	2.78
اللاعب الأول	القيمة الفعلية	2.82	3.01	4.12	2.12	1.59	2.65	17.81	1.55	17.88	10.14	5.10	11.35	3.28	0.82	3.38
	نسبة الفروق %	33.3%	20.4%	26.0%	37.1%	7.4%	23.7%	29.7%	868.5%	30.2%	-48.0%	309.5%	-41.9%	18.5%	239.5%	21.7%
اللاعب الثاني	القيمة الفعلية	0.98	2.88	3.04	0.73	1.50	1.67	15.11	6.06	16.28	12.08	3.25	12.51	3.40	0.10	3.40
	نسبة الفروق %	-53.8%	15.3%	-7.1%	-52.6%	1.1%	-22.1%	10.0%	3679.6%	18.5%	-38.0%	161.0%	-35.9%	22.8%	-56.9%	22.4%
اللاعب الثالث	القيمة الفعلية	0.29	2.92	2.94	0.08	1.55	1.55	14.76	7.59	16.60	8.40	5.40	9.99	3.28	0.27	3.29
	نسبة الفروق %	-86.2%	17.0%	-10.3%	-95.1%	4.6%	-27.4%	7.5%	4634.5%	20.8%	-56.9%	333.1%	-48.8%	18.3%	9.9%	18.3%
اللاعب الرابع	القيمة الفعلية	1.14	2.50	2.74	0.75	1.43	1.61	13.10	4.58	13.87	12.43	0.05	12.43	3.22	0.61	3.28
	نسبة الفروق %	-46.2%	0.0%	-16.2%	-51.5%	-4.0%	-24.8%	-4.6%	2755.5%	1.0%	-36.2%	-95.9%	-36.3%	16.2%	150.7%	17.8%
اللاعب الخامس	القيمة الفعلية	1.32	2.82	3.11	1.06	1.54	1.87	13.47	3.35	13.88	12.62	4.02	13.25	2.60	0.41	2.63
	نسبة الفروق %	-37.6%	12.9%	-4.9%	-31.7%	3.6%	-13.0%	-1.9%	1987.2%	1.1%	-35.2%	222.6%	-32.1%	-6.3%	68.6%	-5.5%
اللاعب السادس	القيمة الفعلية	0.61	2.88	2.95	0.41	1.55	1.61	14.93	2.49	15.14	12.73	2.68	13.01	2.79	0.04	2.79
	نسبة الفروق %	-71.2%	15.5%	-9.9%	-73.5%	4.7%	-25.0%	8.7%	1450.7%	10.2%	-34.6%	114.7%	-33.4%	0.8%	-83.1%	0.5%

تابع جدول رقم (٤) المسارات الحركية لقيم الفعلية والنموذج المستهدف ونسبة الفروق للمتغيرات قيد البحث للحظة (الضرب)

اللاعبين / البيان		الإزاحة الأفقية لمركز ثقل الكرة	الإزاحة الرأسية لمركز ثقل الكرة	الإزاحة المحصلة لمركز ثقل الكرة	الإزاحة الأفقية لمركز ثقل الجسم	الإزاحة الرأسية لمركز ثقل الجسم	الإزاحة المحصلة لمركز ثقل الجسم	السرعة الأفقية للذراع الضاربة	السرعة الرأسية للذراع الضاربة	السرعة المحصلة للذراع الضاربة	السرعة الأفقية لمركز ثقل ثقل الكرة	السرعة الرأسية لمركز ثقل ثقل الكرة	السرعة المحصلة لمركز ثقل ثقل الكرة	السرعة الأفقية لمركز ثقل الجسم	السرعة الرأسية لمركز ثقل الجسم	السرعة المحصلة لمركز ثقل الجسم
اللاعب السابع	القيمة الفعلية	1.89	2.41	3.06	1.48	1.38	2.03	12.25	1.65	12.36	11.04	3.78	11.66	2.85	0.22	2.86
	نسبة الفروق %	-10.6%	-3.5%	-6.4%	-4.1%	-6.8%	-5.4%	-10.8%	928.7%	-10.0%	-43.3%	203.0%	-40.2%	2.9%	-11.1%	2.8%
اللاعب الثامن	القيمة الفعلية	0.88	2.87	3.00	0.76	1.40	1.59	12.73	4.86	13.63	13.43	2.97	13.75	3.10	0.11	3.10
	نسبة الفروق %	-58.5%	14.8%	-8.4%	-50.8%	-5.8%	-25.7%	-7.3%	2932.0%	-0.8%	-31.1%	138.3%	-29.5%	11.9%	-56.2%	11.5%
اللاعب الحادي عشر	القيمة الفعلية	0.28	3.04	3.05	0.07	1.60	1.60	14.09	7.93	16.16	9.34	4.47	10.36	2.74	0.44	2.77
	نسبة الفروق %	-86.6%	21.8%	-6.7%	-95.5%	7.6%	-25.4%	2.6%	4840.9%	17.7%	-52.0%	258.4%	-46.9%	-1.2%	80.6%	-0.3%
اللاعب العاشر	القيمة الفعلية	1.29	2.83	3.11	1.17	1.46	1.88	13.17	6.73	14.79	9.14	4.52	10.19	3.60	0.06	3.60
	نسبة الفروق %	-38.8%	13.2%	-5.0%	-24.0%	-1.5%	-12.5%	-4.1%	4095.1%	7.7%	-53.1%	262.3%	-47.8%	29.9%	-75.1%	29.4%
اللاعب الحادي عشر	القيمة الفعلية	2.11	2.50	3.28	1.51	1.46	2.10	12.68	1.14	12.73	14.32	3.63	14.78	2.63	0.24	2.64
	نسبة الفروق %	-0.2%	0.3%	0.1%	-2.2%	-1.7%	-2.0%	-7.7%	611.5%	-7.3%	-26.5%	191.3%	-24.3%	-5.2%	-0.4%	-5.1%
اللاعب الثاني عشر	القيمة الفعلية	1.36	3.12	3.40	1.03	1.65	1.94	14.38	3.80	14.88	10.05	3.39	10.60	2.97	0.13	2.98
	نسبة الفروق %	-35.8%	24.8%	3.9%	-33.6%	11.2%	-9.3%	4.7%	2270.6%	8.3%	-48.4%	172.1%	-45.7%	7.3%	-46.3%	7.0%



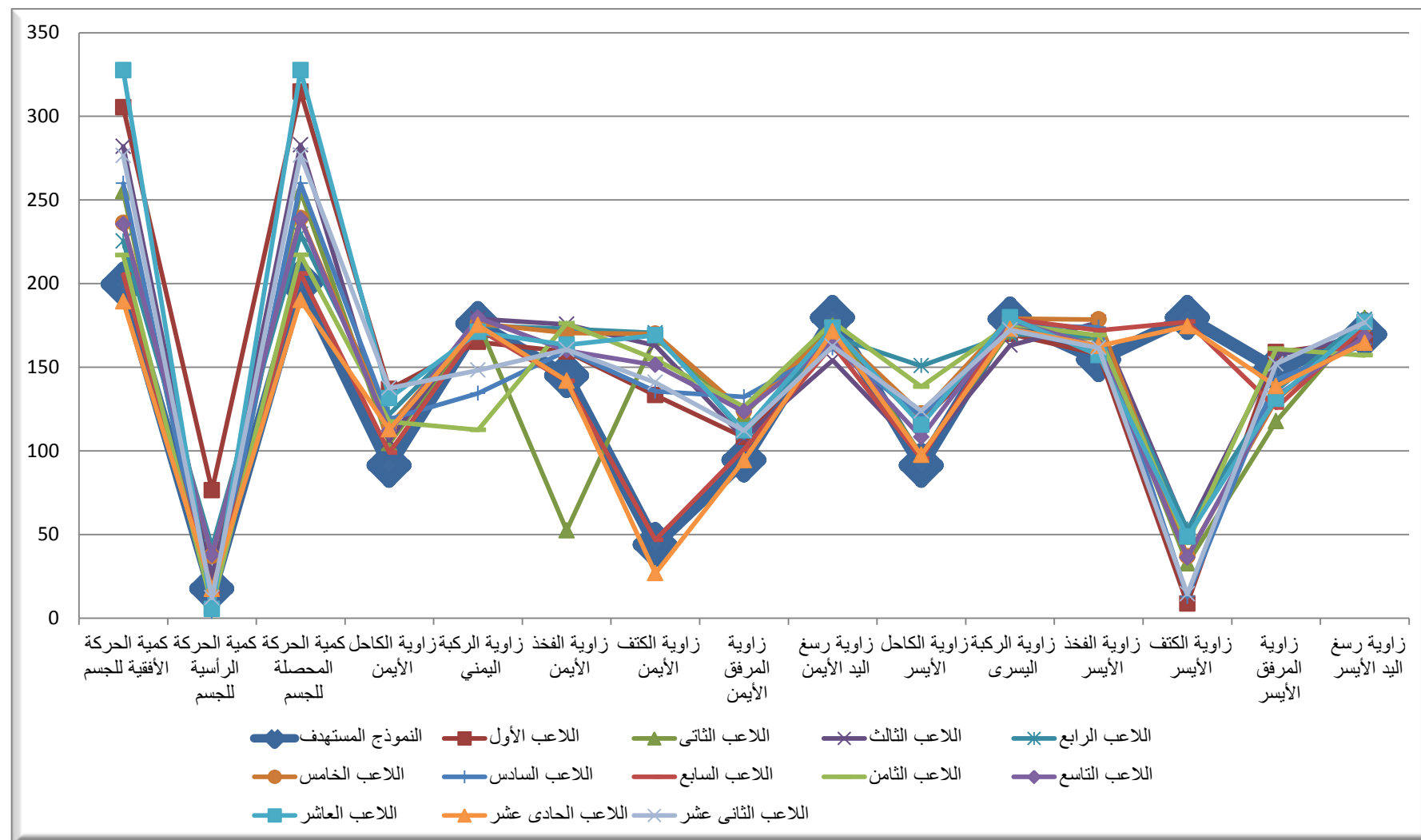
الشكل البياني رقم (٧) الخاص بالمقارنة بين النموذج المستهدف والقيم الفعلية للمسارات الحركية للمتغيرات قيد البحث للاعبين خلال لحظة الضرب

تابع جدول رقم (٤) المسارات الحركية لقيم الفعلية والنموذج المستهدف ونسبة الفروق للمتغيرات قيد البحث للحظة (الضرب)

اللاعبين / البيان		كمية الحركة الأفقية للجسم	كمية الحركة الرأسية للجسم	كمية الحركة المحصلة للجسم	زاوية الكاحل الأيمن	زاوية الركبة اليمني	زاوية الفخذ الأيمن	زاوية الكتف الأيمن	زاوية المرفق الأيمن	زاوية رسمة اليد الأيمن	زاوية الكاحل الأيسر	زاوية الركبة اليسرى	زاوية الفخذ الأيسر	زاوية الكتف الأيسر	زاوية المرفق الأيسر	زاوية رسمة اليد الأيسر
النموذج المستهدف		199.52	17.43	200.28	91.28	175.90	144.87	43.81	94.35	179.59	91.16	178.65	154.45	179.67	148.62	169.48
اللاعب الأول	القيمة الفعلية	305.30	76.44	314.72	136.89	165.07	159.30	133.27	108.19	167.63	117.55	169.87	157.89	8.63	158.93	165.91
	% نسبة الفروق	53.0%	338.5%	57.1%	50.0%	-6.2%	10.0%	204.2%	14.7%	-6.7%	28.9%	-4.9%	2.2%	-95.2%	6.9%	-2.1%
اللاعب الثاني	القيمة الفعلية	255.17	7.83	255.29	104.49	176.93	52.41	167.50	121.80	174.74	97.64	171.49	166.90	32.62	117.67	179.37
	% نسبة الفروق	27.9%	-55.1%	27.5%	14.5%	0.6%	5.2%	282.3%	29.1%	-2.7%	7.1%	-4.0%	8.1%	-81.8%	-20.8%	5.8%
اللاعب الثالث	القيمة الفعلية	281.97	22.88	282.90	106.23	178.86	175.64	162.97	107.52	154.08	98.59	163.03	176.77	52.21	156.99	168.46
	% نسبة الفروق	41.3%	31.3%	41.3%	16.4%	1.7%	21.2%	272.0%	14.0%	-14.2%	8.1%	-8.7%	14.4%	-70.9%	5.6%	-0.6%
اللاعب الرابع	القيمة الفعلية	225.41	42.48	229.38	121.89	174.96	173.01	170.47	110.89	168.33	150.84	169.70	168.51	53.07	136.06	178.58
	% نسبة الفروق	13.0%	143.7%	14.5%	33.5%	-0.5%	19.4%	289.1%	17.5%	-6.3%	65.5%	-5.0%	9.1%	-70.5%	-8.4%	5.4%
اللاعب الخامس	القيمة الفعلية	236.24	37.14	239.14	114.96	176.19	170.54	169.95	123.69	172.40	122.23	179.01	178.50	36.97	130.47	174.66
	% نسبة الفروق	18.4%	113.0%	19.4%	25.9%	0.2%	17.7%	287.9%	31.1%	-4.0%	34.1%	0.2%	15.6%	-79.4%	-12.2%	3.1%
اللاعب السادس	القيمة الفعلية	259.87	3.81	259.90	118.94	134.35	159.75	135.63	132.25	161.43	121.02	175.24	173.88	12.79	142.65	163.54
	% نسبة الفروق	30.2%	-78.1%	29.8%	30.3%	-23.6%	10.3%	209.6%	40.2%	-10.1%	32.8%	-1.9%	12.6%	-92.9%	-4.0%	-3.5%

تابع جدول رقم (٤) المسارات الحركية لقيم الفعلية والنموذج المستهدف ونسبة الفروق للمتغيرات قيد البحث للحظة (الضرب)

اللاعبين / البيان		كمية الحركة الأفقية للجسم	كمية الحركة الرأسية للجسم	كمية الحركة المحصلة للجسم	زاوية الكاحل الأيمن	زاوية الركبة اليمني	زاوية الفخذ الأيمن	زاوية الكتف الأيمن	زاوية المرفق الأيمن	زاوية رسمة اليدين الأيمن	زاوية الكاحل الأيسر	زاوية الركبة اليسرى	زاوية الفخذ الأيسر	زاوية الكتف الأيسر	زاوية المرفق الأيسر	زاوية رسمة اليدين الأيسر
اللاعب السابع	القيمة الفعلية	205.37	15.50	205.96	98.92	172.99	141.70	46.77	100.92	163.36	95.37	178.87	171.98	177.16	125.77	174.56
	نسبة الفروق %	2.9%	-11.1%	2.8%	8.4%	-1.7%	-2.2%	6.8%	7.0%	-9.0%	4.6%	0.1%	11.3%	-1.4%	-15.4%	3.0%
اللاعب الثامن	القيمة الفعلية	217.01	7.43	217.13	117.42	112.53	176.12	154.79	126.33	177.05	138.33	175.73	169.00	45.02	160.90	157.11
	نسبة الفروق %	8.8%	-57.4%	8.4%	28.6%	-36.0%	21.6%	253.3%	33.9%	-1.4%	51.7%	-1.6%	9.4%	-74.9%	8.3%	-7.3%
اللاعب التاسع	القيمة الفعلية	235.47	37.61	238.45	111.85	179.56	160.01	151.30	123.43	165.75	108.19	177.95	162.28	36.21	132.92	168.24
	نسبة الفروق %	18.0%	115.7%	19.1%	22.5%	2.1%	10.4%	245.4%	30.8%	-7.7%	18.7%	-0.4%	5.1%	-79.8%	-10.6%	-0.7%
اللاعب العاشر	القيمة الفعلية	327.45	5.48	327.49	131.45	171.04	163.39	169.11	112.24	173.53	115.48	179.74	157.15	48.68	131.02	177.00
	نسبة الفروق %	64.1%	-68.6%	63.5%	44.0%	-2.8%	12.8%	286.0%	19.0%	-3.4%	26.7%	0.6%	1.7%	-72.9%	-11.8%	4.4%
اللاعب الحادى عشر	القيمة الفعلية	189.22	17.37	190.02	112.72	175.16	141.90	26.80	94.29	171.34	97.45	172.91	162.70	174.42	138.68	164.49
	نسبة الفروق %	-5.2%	-0.4%	-5.1%	23.5%	-0.4%	-2.1%	-38.8%	-0.1%	-4.6%	6.9%	-3.2%	5.3%	-2.9%	-6.7%	-2.9%
اللاعب الثاني عشر	القيمة الفعلية	276.43	12.10	276.70	137.52	148.26	160.50	140.86	112.10	162.49	123.84	172.25	161.51	14.40	151.98	176.82
	نسبة الفروق %	38.5%	-30.6%	38.2%	50.7%	-15.7%	10.8%	221.5%	18.8%	-9.5%	35.8%	-3.6%	4.6%	-92.0%	2.3%	4.3%



يتضح من الجدول رقم (٤) والشكل رقم (٧) ، (٨) الخاص بالمسارات الحركية الفعلية والنموذج المستهدف ونسبة الفروق للمتغيرات قيد البحث لحظة (الضرب) ان تراوحت نسبة الفروق لعينة البحث للمتغيرات قيد البحث على النحو التالي :

الإزاحة الأفقية لمركز ثقل الكرة تراوحت ما بين 86.60% - 33.30% ، الإزاحة الرأسية لمركز ثقل الكرة تراوحت ما بين 3.50% - 24.80% ، الإزاحة المحصلة لمركز ثقل الكرة تراوحت ما بين الكرة تراوحت ما بين 16.20% - 26.00% ، الإزاحة الأفقية لمركز ثقل الجسم تراوحت ما بين 37.10% - 95.50% ، الإزاحة الرأسية لمركز ثقل الجسم تراوحت ما بين 6.80% - 11.20% ، الإزاحة المحصلة لمركز ثقل الجسم تراوحت ما بين 23.70% - 27.40% ، السرعة الأفقية للذراع الضاربة تراوحت ما بين 10.80% - 29.70% ، السرعة الرأسية للذراع الضاربة تراوحت ما بين 48.40% - 61.50% ، السرعة المحصلة للذراع الضاربة تراوحت ما بين 11.50% - 30.20% ، السرعة الأفقية لمركز ثقل الكرة تراوحت ما بين 56.90% - 95.90% ، السرعة الرأسية لمركز ثقل الكرة تراوحت ما بين 48.80% - 33.10% ، السرعة المحصلة لمركز ثقل الكرة تراوحت ما بين 29.90% - 24.30% ، السرعة الأفقية لمركز ثقل الجسم تراوحت ما بين 5.50% - 83.10% ، السرعة الرأسية لمركز ثقل الجسم تراوحت ما بين 29.40% - 29.50% ، كمية الحركة للأفقية للجسم تراوحت ما بين 5.20% - 64.10% ، كمية الحركة الرأسية للجسم تراوحت ما بين 5.10% - 78.10% ، كمية الحركة المحصلة للجسم تراوحت ما بين 5.50% - 338.50% ، زاوية الكاحل الأيمن تراوحت ما بين 8.40% - 50.70% ، زاوية الركبة اليمني تراوحت ما بين 36.00% - 2.10% ، زاوية الفخذ الأيمن تراوحت ما بين 2.20% - 21.60% ، زاوية الكتف الأيمن تراوحت ما بين 38.80% - 40.20% ، زاوية الكاحل الأيسر تراوحت ما بين 4.60% - 65.50% ، زاوية الركبة اليسرى تراوحت ما بين 8.70% - 14.20% ، زاوية الفخذ الأيسر تراوحت ما بين 1.70% - 15.60% ، زاوية الكتف الأيسر تراوحت ما بين 95.20% - 1.40% ، زاوية المرفق الأيسر تراوحت ما بين 8.30% - 20.80% ، زاوية رسم اليد الأيسر تراوحت ما بين 7.30% - 5.80% .

يوضح جمال علاء الدين (٢٠٠٠) ان الاستفادة الميكانيكية لمتغير القوة هو تأثيرها على الكرة وهي حسابياً عباره عن ناتج حاصل ضرب العجلة المكتسبة لهذه القوه في كتلة الجسم ، فالكرة تكسب السرعه النهائيه لها خلال لحظه الضرب وهي ناتجه خلال اكتساب الجسم لهذه السرعه النهائيه لحظه الانطلاق وكسر اتصال الجسم بالارض ، حيث يشير محمد جابر بريقع أنه للاستفاده من تطبيق أقصى قوه مع السرعه النهائيه وزيادة مسافة التعجيل حيث ذلك يؤثر على نجاح الضرب وتوجيه الكرة للمكان المراد خلال الضرب .

ويتضح مما سبق ومن خلال نتائج البحث ان النموذج المستهدف قد استفاد من تطبيق المتغيرات البيوميكانيكية وهذا يدل على مستوى الاداء المهاري

يشير الباحثان الى ان اعتماد النموذج في هذه المرحلة علي دوران الجزء حول المحور الرئيسي في اتجاه الذراع الضاربة حتى يعمل ويساعد علي زيادة سرعتها وعند تصدام الكرة بيد اللاعب الضاربة والتي تنتقل لها سرعة مكتسبة من الكتف ، المرفق ، الرسم وترتبط القوة المؤثرة على الكرة خلال الضرب لتحديد مسارها سواء كان مستقيما او دائرياً بعده عوامل منها مرجحة الذراع الضاربة وكمية الحركة للجسم وزاوية الطيران الى انتاج قوة أكبر وهو رد فعل طبيعى لارتداد الذراعين للخلف وايضا ارتفاع مركز ثقل الجسم حيث يوجد علاقة متبادله بين انشاء الركبتين وعمل الذراع الضاربة حيث كلما تم تقريب مفصل الركبه والجزء فان عمل الذراع الضاربة سيكون سريعا .

ويؤكد علي ذلك السيد عبد المقصود (١٩٩٧) الي ان اداء المستويات العليا للحركات الرياضيه في تكون بفتره زمنيه قصيرة جدا فالقوه تكون خلال فتره زمنية قصيريه حتى يمكن خلالها التوصل الي اقصى استفاده ممكنه منها ،

بالاضافة ايضا الي زياده نصف قطر دوران الذراع الضاربة وذلك يدل علي زياده مقدار السرعة المحيطية فهي حاصل ضرب $\text{نق} \times$ السرعة الزاويه وهذا تطلب من اللاعب النموذج بادرake لزمن تنفيذ الضرب للمهاره قيد البحث والاستفاده من هذا القانون للوصول لأفضل دقة واداء ممكن.

وفي ضوء ما سبق يرى الباحثان انه قد تحقق الاجابة علي التساؤلات البحث .

الاستنتاجات :

في ضوء النتائج التي تم التوصل إليها من خلال هذا البحث وفي حدود طبيعة وعينة البحث والمعالجات الاحصائية المستخدمة وقسم المهارة الى أهم اللحظات خلال مرحل الأداء المهار يتم التوصل إلى :

خلال لحظة نهاية الاقتراب

- السرعة الأفقية للذراع الضاربة تراوحت ما بين (-%٧٥.٩٠) إلى (-%١١.٢٠) ، السرعة الرأسية للذراع الضاربة تراوحت ما بين (-%٦٠.٨٠) إلى (-%١٢٠.٨٠)
- السرعة الأفقية لمركز ثقل الجسم تراوحت ما بين (-%٨.٨٠) إلى (-%٢١.٢٠) ، السرعة الرأسية لمركز ثقل الجسم تراوحت ما بين (-%٦٥٧.٩٠) إلى (-%١٠٨.٩٠)
- كمية الحركة الأفقية للجسم تراوحت ما بين (-%٤٧.٥٠) إلى (-%١١.٣٠) ، كمية الحركة الرأسية لمركز ثقل للجسم تراوحت ما بين (-%٤٥.٦٠) إلى (-%١٦٤.١٠)

خلال لحظة التخييد

- الإزاحة الأفقية لمركز ثقل الجسم تراوحت ما بين %511.80- إلى %70.50 ، الإزاحة الرأسية لمركز ثقل الجسم تراوحت ما بين %9.00- إلى %6.10
- السرعة الأفقية لمركز ثقل الجسم تراوحت ما بين %22.20- إلى %28.10 ، السرعة الرأسية لمركز ثقل الجسم تراوحت ما بين %86.20- إلى %14.20
- كمية الحركة الأفقية للجسم تراوحت ما بين %11.00- إلى %49.40 ، كمية الحركة الرأسية للجسم تراوحت ما بين %10.80- إلى %140.50

خلال لحظة أقصى ارتفاع لمركز ثقل الجسم

- السرعة الرأسية لمركز ثقل الجسم تراوحت ما بين %36.00- إلى %1192.20 ، كمية الحركة الرأسية للجسم تراوحت ما بين %1201.30- إلى %36.00

خلال لحظة الضرب

- الإزاحة الأفقية لمركز ثقل الكرة تراوحت ما بين %33.30- إلى %86.60 ، الإزاحة الرأسية لمركز ثقل الكرة تراوحت ما بين %3.50- إلى %24.80
- كمية الحركة الأفقية للجسم تراوحت ما بين %5.20- إلى %64.10 ، كمية الحركة الرأسية للجسم تراوحت ما بين %338.50- إلى %78.10
- زاوية الكتف الأيمن تراوحت ما بين %289.10- إلى %38.80 ، زاوية المرفق الأيمن تراوحت ما بين %1.40- إلى %40.20

التوصيات :

انطلاقاً مما أشارت اليه الاستنتاجات يوصي الباحثان :

- الاسترشاد بالمسارات الحركية والمتغيرات المنحني النظري البيوميكانيكي في تقييم الاداء وتقويمه للوصول بالعملية التدريبية ومستوى اللاعبين لمستوي أفضل وتحقيق الفورم الرياضية بما يضمن تحقيق الفوز في المباريات
- وضع برامج تدريبية مبنية على قيم المتغيرات النظرية (النموذج المستهدف) للعمل على تحسين وتطوير المسار الحركي الفعلي للداء للوصول الى اقرب ما يمكن من المسار النظري (النموذج المستهدف) .

قائمة المراجع

أولاً: المراجع العربية

١. احمد فؤاد الشاذلي (٢٠٠٨): الموسوعة الرياضية في بيوميكانيك الاتزان ، الطبعة الاولى منشأه المعارف
٢. جمال علاء الدين، ناهد الصباغ: (٢٠٠٧) الاساس العلمي الحركي – البيوميكانيكي للتمرينات البدنيه ، المؤتمر العلمي الدولي الثاني) كلية التربية الرياضيه للبنين الزقاق ص ١٢٦ .
٣. ريسان خريبيط مجيد ، نجاح مهدي شلش : التحليل الحركي ، جامعة البصرة ، مطباع التعلم ص ١١٧ .
٤. زكي محمد حسن (٢٠١٣): الاسس والقواعد الصحية في تدريب الكرة الطائرة ، دار الكتاب .
٥. صريح عبد الكريم (٢٠١٢): تطبيقات البويميكانيك في التدريب الرياضي والاداء الحركي ، الطبعة الثانية، مطبعة عدي العكيلي ، بغداد
٦. طلحه حسام الدين (١٩٩٨): سعد عبد الرشيد تعلم الحركة التطبيقى مركز الكتاب دار النشر ص ١٢٧ .
٧. محمد إبراهيم شحاته واحمد فؤاد الشاذلي (٢٠٠٦): التطبيقات الميدانية للتخليل الحركي ، المكتبة المصرية.
٨. وديع محمد المرسي (٢٠١٧): التحليل الحركي تكنولوجيا وفنية ، جامعة المنصورة .

ثانياً: المراجع الأجنبية

9. Alexander, Marion & Honish ,Adrian (2006): An Analysis of the Volleyball Jump Serve, Sport Biomechanics Lab University of Manitoba.
10. Coleman, Simon (2000): UA Three-Dimensional Kinematic Analysis of the Volleyball Jump Serve, Moray House Institute of Education, Heriot-Watt University, Edinburgh, Scotland.
11. Wilson,Tom, (2007): Basic Approach Foot work ,Twilson @biriani.cc.
12. Wilson (2006): Diomechanical Analysis of the Vertical Jump and tree mutinied ,journal if biomechanics.

الملخص

المسارات الحركية للإرسال بالوثب في ضوء المنحني النظري البيوميكانيكي لدى لاعبي الكرة الطائرة

أ.م.د. محمد محمد عبد الهادى دومة

أستاذ مساعد
قسم أصول التربية الرياضية
كلية التربية الرياضية للبنين
جامعة الإسكندرية

أ.م.د. إيمان مصطفى محمد أبوالعلا

أستاذ مساعد
قسم التدريب الرياضى وعلوم الحركة
كلية التربية الرياضية للبنات
جامعة الاسكندرية

يهدف البحث إلى تقويم المسارات الحركية للإرسال بالوثب لدى لاعبي الكرة الطائرة في ضوء المنحني النظري البيوميكانيكي وذلك من خلال التعرف على المسارات الحركية الفعلية والنظرية للإرسال بالوثب لدى لاعبي الكرة الطائرة ودراسة متغيرات المنحنيات الفعلية والنظرية للإرسال بالوثب لدى لاعبي الكرة الطائرة ، ولمعرفة ذلك فقد استخدم الباحثان المنهج الوصفي على عينة قوامها ١٣ لاعب من لاعبي الكرة الطائرة ، وقد لاستخراج Skillspect تم التصوير للتحليل الحركي بكاميرا سرعتها ١٢٠ كادر / ث ، واستخدم الباحثان برنامج المتغيرات البيوميكانيكية للمهاره قيد البحث ، وكان من أهم النتائج خلال لحظة نهاية الاقتراب

السرعة الأفقية للنراع الضاربة تراوحت ما بين (٩٠-١١.٢٠) % ، السرعة الرئيسية للنراع الضاربة تراوحت ما بين (٦٠-٦٠.٨٠) % إلى (١٢٠.٨٠) % خلال لحظة التخميد الإزاحة الأفقية لمركز ثقل الجسم تراوحت ما بين -٧٠.٥% إلى ١١.٨٠% ، الإزاحة الرئيسية لمركز ثقل الجسم تراوحت ما بين -١٠.١٠% إلى ٦٠.٩% خلال لحظة أقصى ارتفاع لمركز ثقل الجسم السرعة الرئيسية لمركز ثقل الجسم تراوحت ما بين -٣٦.٠٠% إلى ١١٩٢.٢% خلال لحظة الضرب كمية الحركة الأفقية للجسم تراوحت ما بين -٢٠.٥% إلى ٦٤.١% ، كمية الحركة الرئيسية للجسم تراوحت ما بين -٣٣٨.٥% إلى ٧٨.١%

Summary

Motor paths of the jump serve in light of the theoretical biomechanical volleyball players approach for

Asso. Prof. Eman Mostafa Mohamed Aboelalaa

Associate Professor

Department of Sports Training and Movement Science
Faculty of Physical Education for Girls
Alexandria University

Asso. Prof. Mohamed Mohamed Abdelhady Doma

Associate Professor

Department of Fundamentals of Physical Education
Faculty of Physical Education for Boys
Alexandria University

The research aims to evaluate the kinetic paths of the jump serve for volleyball players in light of the theoretical biomechanical curve by identifying the actual and theoretical kinetic paths of the jump serve for volleyball players and studying the variables of the actual and theoretical curves of the jump serve for volleyball players. To find out, the researchers used the descriptive approach on a sample of 13 volleyball players. To extract the Skillspect, the kinetic analysis was photographed with a camera with a speed of 120 frames per second. The researchers used the biomechanical variables program for the skill under study. The most important results during the moment of the end of the approach were: The horizontal speed of the striking arm ranged between (-75.90%) to (11.20%), the vertical speed of the striking arm ranged between (-0.60%) to (120.80%). During the moment of damping, the horizontal displacement of the center of gravity of the body ranged between -70.50% to 511.80%, the vertical displacement The center of gravity of the body ranged from -6.10% to 9.00% during the moment of maximum height of the center of gravity of the body. The vertical velocity of the center of gravity of the body ranged from -36.00% to 1192.20% during the moment of impact. The horizontal momentum of the body ranged from -5.20% to 64.10%. The vertical momentum of the body ranged from -78.10% to 338.50%.